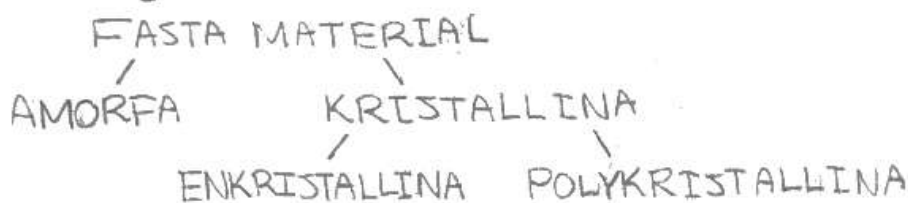


KRISTALLOGRAFI:

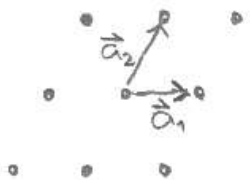
Beskrivning av hur atomerna är placerade i material.



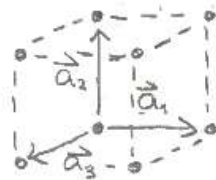
Kristaller har både näroordning och fjärrordning  
 $\Rightarrow$  kan beskrivas med gitter.

Gitter - oändlig punktmängd där varje punkt har identisk omgivning.

2D:



3D:



$\vec{a}_i$  gittervektorer  $\leftarrow$  spänner upp enhetscellen.  
 $\vec{a}_i$  väljs s.a. man får transl. symmetri.

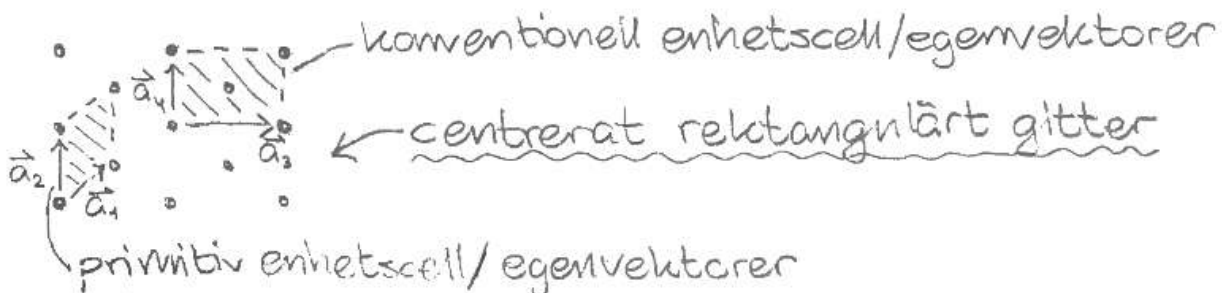
$$\mathcal{E}(\vec{r}) = \mathcal{E}(\vec{r} + u_1\vec{a}_1 + u_2\vec{a}_2 + u_3\vec{a}_3), \quad u_i: \text{heltal}$$

Om  $\vec{a}_i$  väljs s.a. det bara finns en gitterpunkt i enhetscellen, är gittervektorerna och enhetscellen primitiva.

$$V_{\text{cell}} = |\vec{a}_1 \cdot \vec{a}_2 \times \vec{a}_3|$$

2D: 5 st Bravaisgitter.

3D: 14 st Bravaisgitter.

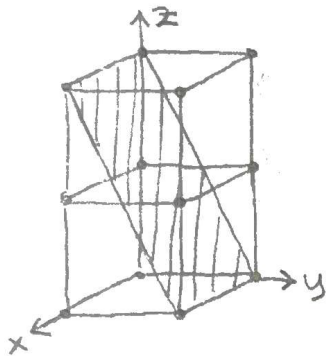


## KRISTALLPLAN:

Beskrivs med Miller-index.

1. Tag planetets skärning med  $\vec{a}_i$ .
  2. Invertera  $\rightarrow \frac{1}{\vec{a}_i}$
  3. Förläng s.a. alla  $\frac{1}{\vec{a}_i}$  blir heltal  $\rightarrow (hkl)$
- Miller-index

Ex. Kubiskt gitter.



1. Planet skär i  $(\infty, 1, 2)$
2. Invertera  $\rightarrow (0, 1, \frac{1}{2})$
3. Förläng  $\rightarrow (0, 2, 1)$

Negativa tal skrivs  $\bar{h}$  istället för  $-h$ .

Specifikt plan  $\rightarrow (hkl)$

Ekvivalenta plan  $\rightarrow \{hkl\}$

Specifk. riktning  $\rightarrow [hkl]$

Ekvivalenta riktningar  $\rightarrow \langle hkl \rangle$

I det kubiska systemet är  $[hkl] \parallel \vec{v}_{hkl}$  och  
planavstånden är

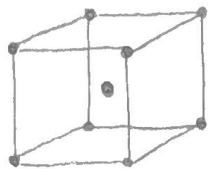
$$d_{hkl} = \frac{a}{\sqrt{h^2 + k^2 + l^2}}, \quad a \text{ gitterparametern}$$



KRISTALLSTRUKTUR (gitter + bas)

Till varje gitterpunkt hör en eller flera atomer.

- Body centered cubic (BCC):

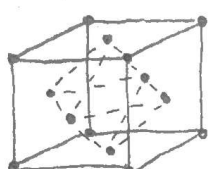


Gitterkoord:  $(0,0,0)$ ,  $(\frac{1}{2}, \frac{1}{2}, \frac{1}{2})$ .

2 atomer per cell, packningstäthet 0,68.

Ex. Fe, W, Nb.

- Face centered cubic (FCC):

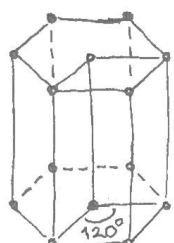


Gitterkoord:  $(0,0,0)$ ,  $(\frac{1}{2}, \frac{1}{2}, 0)$ ,  $(\frac{1}{2}, 0, \frac{1}{2})$ ,  $(0, \frac{1}{2}, \frac{1}{2})$

4 atomer per cell, packningstäthet 0,74.

Ex. Al, Au, Ag, Cu, Ni.

- Hexagonal:



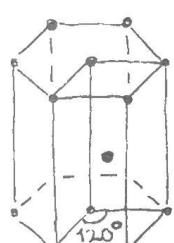
Gitterkoord:  $(0,0,0)$ .

1 atom per cell.

Packningstäthet 0,6.

Ex. Te,

- Hexagonal closed packed (HCP):



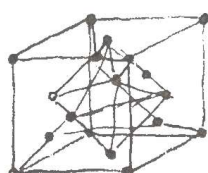
Gitterkoord:  $(0,0,0)$ ,  $(\frac{1}{3}, \frac{2}{3}, \frac{1}{2})$

6 atomer per cell.

Packningstäthet 0,74.

Ex. Ti, Zn, Co.

- Diamant (FCC):



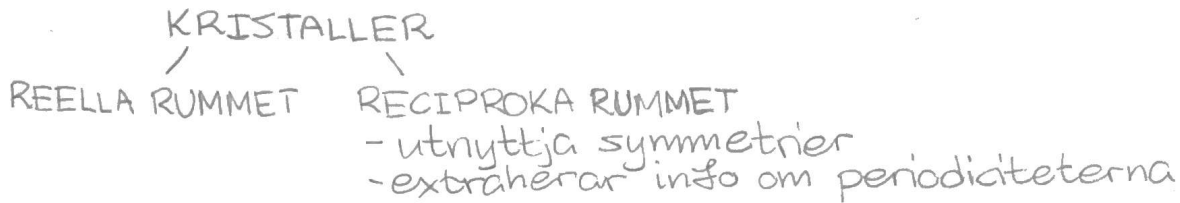
Gitterkoord:  $(0,0,0)$ ,  $(\frac{1}{2}, \frac{1}{2}, 0)$ ,  $(\frac{1}{2}, 0, \frac{1}{2})$ ,  $(0, \frac{1}{2}, \frac{1}{2})$

Bas:  $(0,0,0)$ ,  $(\frac{1}{4}, \frac{1}{4}, \frac{1}{4})$ .

8 atomer per cell, packningstäthet 0,34.

Ex. C, Si, Ge.

## RECIPROKA RUMMET:



Kan tolkas som inverterat rum som underlättar analys.

Låt  $\vec{a}_1, \vec{a}_2, \vec{a}_3$  vara gittervektorer som beskriver gitter

$$R = n_1 \vec{a}_1 + n_2 \vec{a}_2 + n_3 \vec{a}_3$$

i det reella rummet. Då definieras reciproka gittervektorer  $\vec{b}_1, \vec{b}_2, \vec{b}_3$  enligt

$$\left\{ \begin{array}{l} \vec{b}_1 = 2\pi \cdot \frac{\vec{a}_2 \times \vec{a}_3}{V} \\ \vec{b}_2 = 2\pi \cdot \frac{\vec{a}_3 \times \vec{a}_1}{V} \\ \vec{b}_3 = 2\pi \cdot \frac{\vec{a}_1 \times \vec{a}_2}{V} \end{array} \right. \quad V = V_{\text{cell}} = |\vec{a}_1 \cdot \vec{a}_2 \times \vec{a}_3|$$

• Enheten i det reciproka rummet är  $\text{m}^{-1}$ .

• En gitterpunkt i det reciproka rummet motsvarar en plan i det reella rummet.

$$\vec{a}_i \cdot \vec{b}_j = 2\pi \delta_{ij}, \quad \delta_{ij} = \begin{cases} 1 & \text{om } i=j \\ 0 & \text{om } i \neq j \end{cases}$$

• För plan med Miller-index (hkl) och normal  $\vec{n}_{\text{nn}}$  gäller

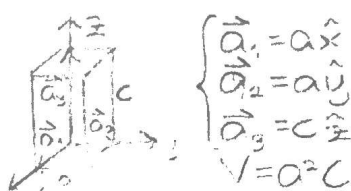
$$\vec{G} = h\vec{b}_1 + k\vec{b}_2 + l\vec{b}_3 = \frac{2\pi}{d_{\text{nn}}} \vec{n}_{\text{nn}}$$

• Strålar ( $e^-$ , neutroner, x-ray) beskrivs med vågvektor

$$\vec{k} = \frac{2\pi}{\lambda} \frac{\vec{h}}{|hkl|}, \quad \lambda \text{ våglängden.}$$

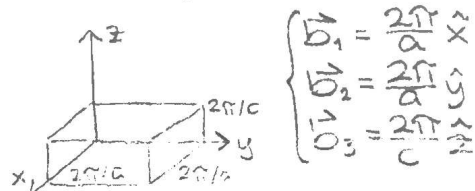
Ex: Enkel tetragonalt struktur.

Reella rummet:



$$\left\{ \begin{array}{l} \vec{a}_1 = a \hat{x} \\ \vec{a}_2 = a \hat{y} \\ \vec{a}_3 = c \hat{z} \end{array} \right. \quad V = a^2 c$$

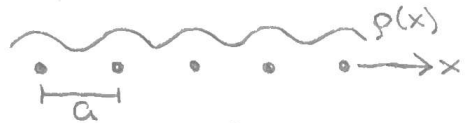
Reciproka rummet:



$$\left\{ \begin{array}{l} \vec{b}_1 = \frac{2\pi}{a} \hat{x} \\ \vec{b}_2 = \frac{2\pi}{b} \hat{y} \\ \vec{b}_3 = \frac{2\pi}{c} \hat{z} \end{array} \right.$$

Ex. Endimensionellt.

Låt  $p(x)$  vara elektronräntätheten,  $a$  gitterparametern.



$$p(x) = C + \sum_{n=1}^{\infty} c_n \cos\left(x \frac{2\pi n}{a}\right) + s_n \sin\left(x \frac{2\pi n}{a}\right) \quad (\text{Fourierserie})$$
$$= \sum_{n=-\infty}^{\infty} p_n \exp\left(\frac{inx2\pi}{a}\right) \quad \text{reella Fourierkoefficienter}$$

$p(x)$  är en reell funktion men koeficienterna  $p_n$  är komplexa.

Exponenten  $\frac{2\pi n}{a}x$  ger kedja av punkter i reciproka rummet med avstånd  $\frac{2\pi}{a}$  mellan punkterna.

Den reciproka gittervektorn är

$$\vec{G}_n = n \frac{2\pi}{a} \hat{x}$$

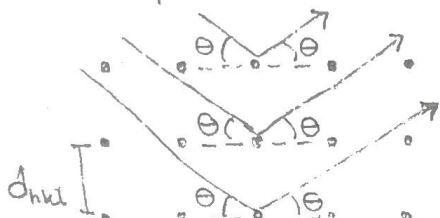
heltal

### DIFFRAKTION:

Studera kristallstrukturer då  $\lambda < a$ .

$$\lambda_{x-ray} = \frac{hc}{E}, \quad \lambda_{e^- n} = \frac{h}{\sqrt{2mE}}$$

Atomplan med avstånd  $d_{hkl}$ :



Kristallen betraktas som beståndet av delvis reflekterande atomplan.

Konstruktiv interferens  $\rightarrow$  Braggs lag gäller.

$$\text{Braggs lag: } [2d_{hkl} \sin\theta = n\lambda, \quad n=1, 2, 3, \dots]$$

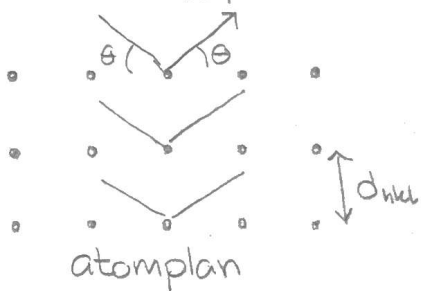
På grund av symmetri förs villkor på  $h, k, l$   
 $\rightarrow$  strukturfaktör.

- SC: Inga villkor.
- FCC:  $h, k, l$  alla jämna eller udda.
- BCC:  $h+k+l = \text{jämn}$ .

LAUE DIFFRAKTION:

Diffraktion ur det reciproka rummets perspektiv.

REELLA:



atomplan

RECIPROKA:



punktmängd/gitter

- Inkommande strålning beskrivs med vågvektorn  $\vec{k}$ .
- Längden  $\frac{2\pi}{\lambda}$ .
- Diffrakterade strålen beskrivs med  $\vec{k}'$ .
- Studerar elastisk spridning  $\rightarrow |\vec{k}| = |\vec{k}'|$ .
- Den spridda amplituden är proportionell mot den lokala elektronräntätheten  $p(\vec{r})$ .
- Fasskifftet mellan  $\vec{k}$  och  $\vec{k}'$ :  $e^{i(\vec{k}-\vec{k}') \cdot \vec{r}}$ .

Spridningsamplituden  $F$  är

$$F = \int p(\vec{r}) e^{i(\vec{k}-\vec{k}') \cdot \vec{r}} dV = \int p(\vec{r}) e^{-i\Delta\vec{k} \cdot \vec{r}} dV \quad (\vec{k}-\vec{k}' = \Delta\vec{k})$$

$$\text{För 3D: } p(\vec{r}) = \sum_{\vec{G}} p_{\vec{G}} e^{i\vec{G} \cdot \vec{r}}$$

$$\Rightarrow F = \sum_{\vec{G}} \int p_{\vec{G}} e^{i(\vec{G}-\Delta\vec{k}) \cdot \vec{r}} dV$$

Detta uttryck blir  $\neq 0$  om  $\vec{G} = \Delta\vec{k}$

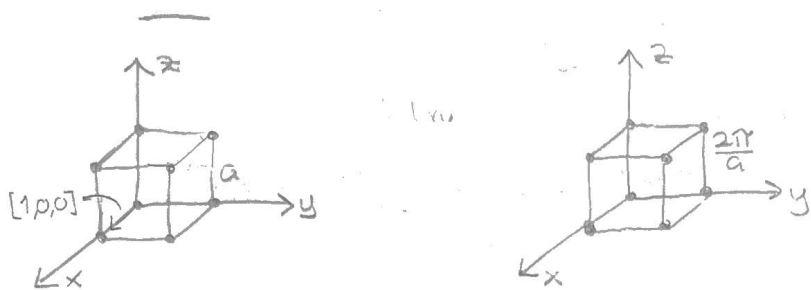
$$\Rightarrow F = V \cdot p_{\vec{G}}.$$

Laue-villkoret för diffraction:  $[\Delta\vec{k} = \vec{G}]$

$$|\vec{k}| = |\vec{k}'| \Rightarrow (\vec{k} + \vec{G})^2 = k'^2 = k^2 \text{ el. } 2\vec{k} \cdot \vec{G} + \vec{G}^2 = 0$$

Ex. Röntgenstråle träffar SC-kristall med  $a = 20 \text{ Å}$  och infallsriktningen  $[1,0,0]$ .

Vilken våglängd  $\lambda$  krävs för att erhålla diffraction från  $(\bar{1}\bar{1}1)$ -planen?



$$\vec{k} = \frac{2\pi}{\lambda} [1,0,0], \quad \vec{G} = \frac{2\pi}{a} [\bar{1},1,1]$$

$$\vec{k}' = \vec{k} + \vec{G} = 2\pi \left[ \frac{1}{\lambda} - \frac{1}{a}, \frac{1}{a}, \frac{1}{a} \right]$$

$$|\vec{k}'|^2 = |\vec{k}|^2 \Rightarrow 4\pi \left( \left( \frac{1}{\lambda} - \frac{1}{a} \right)^2 + \frac{2}{a^2} \right) = \frac{4\pi^2}{\lambda^2} \Rightarrow \lambda = \frac{2a}{3} = \underline{\underline{20 \text{ Å}}}$$

### Ewald-konstruktion:

Användbar metod för att lösa diffractionsuppgifter.

(se ppt)

### STRUKTURFAKTORN:

Spridningsamplituden längs  $\vec{k}' = \vec{k} + \vec{G}$  med N enhetsceller i kristallen:

$$F_{\vec{G}} = N \sum_{\text{cell}} p(\vec{r}) e^{-i\vec{G} \cdot \vec{r}} dV = N \cdot S_{\vec{G}}, \quad S_{\vec{G}} \text{ strukturfaktorn.}$$

Strukturfaktorn ger alltså spridningsamplituden för en enhetscell.

Låt  $f_j$  vara den atomära formfaktorn som ger spridningen för atom j i enhetscellen. Strukturfaktorn blir då

$$S_{\vec{G}} = \sum_j f_j e^{-i\vec{G} \cdot \vec{r}_j} \quad \text{atomnumret}$$

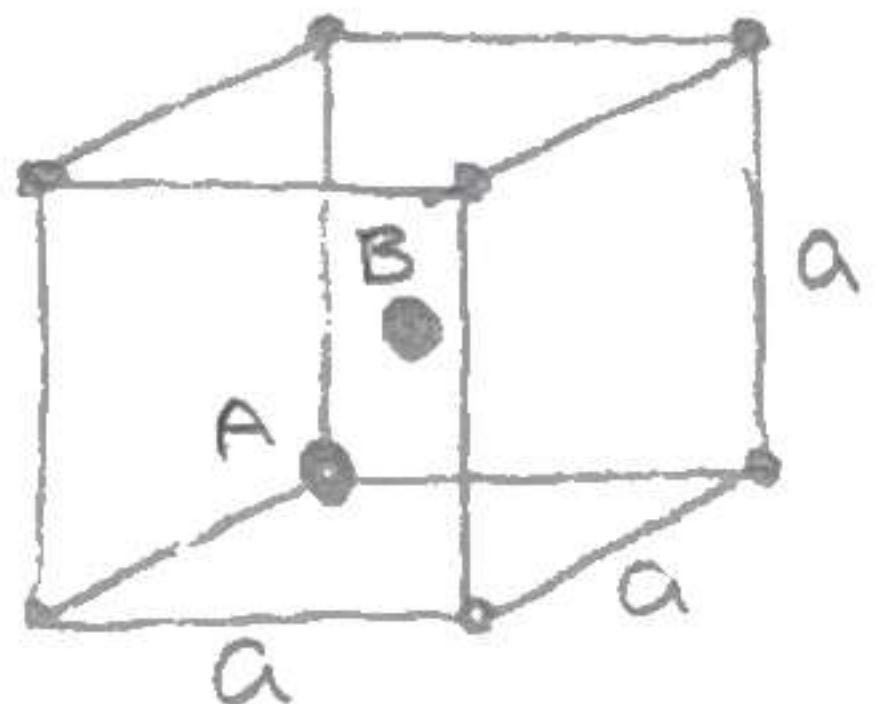
För x-rays,  $e^- \rightarrow f \sim Z$

För neutriner  $\rightarrow f$  specifik för varje isotop

$$\text{Den spridda intensiteten } I_{\text{nkl}} \sim N^2 |S_{\text{nkl}}|^2$$

Ex. Beräkna  $S$  för BCC.

Den konventionella enhetscellen innehåller 2 atomer.  
Tolkas strukturen som SC med två atomer i basen.



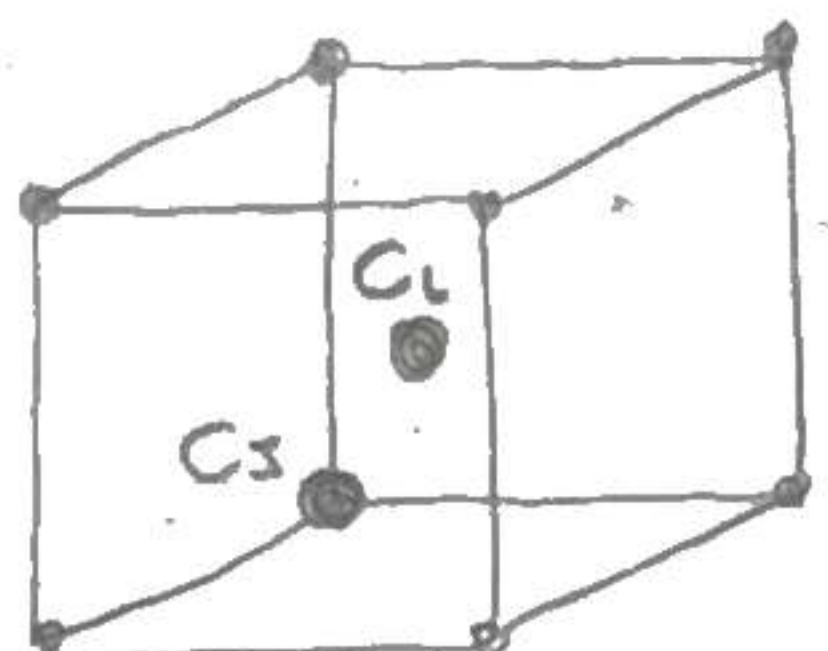
$$\vec{r}_A = [0, 0, 0], \quad \vec{r}_B = \frac{a}{2} [1, 1, 1]$$

$$\vec{G} = h\vec{b}_1 + k\vec{b}_2 + l\vec{b}_3$$

$$S_{\vec{G}}(hkl) = \sum_{j=1}^2 f_j e^{-i\vec{G} \cdot \vec{r}_j} = f_1 + f_2 e^{-i\pi(h+k+l)} =$$

$$= \{f_1 = f_2 = f\} = \begin{cases} 2f & \text{om } h+k+l = \text{jämnt} \\ 0 & \text{om } h+k+l = \text{udda} \end{cases}$$

Ex. CsCl.

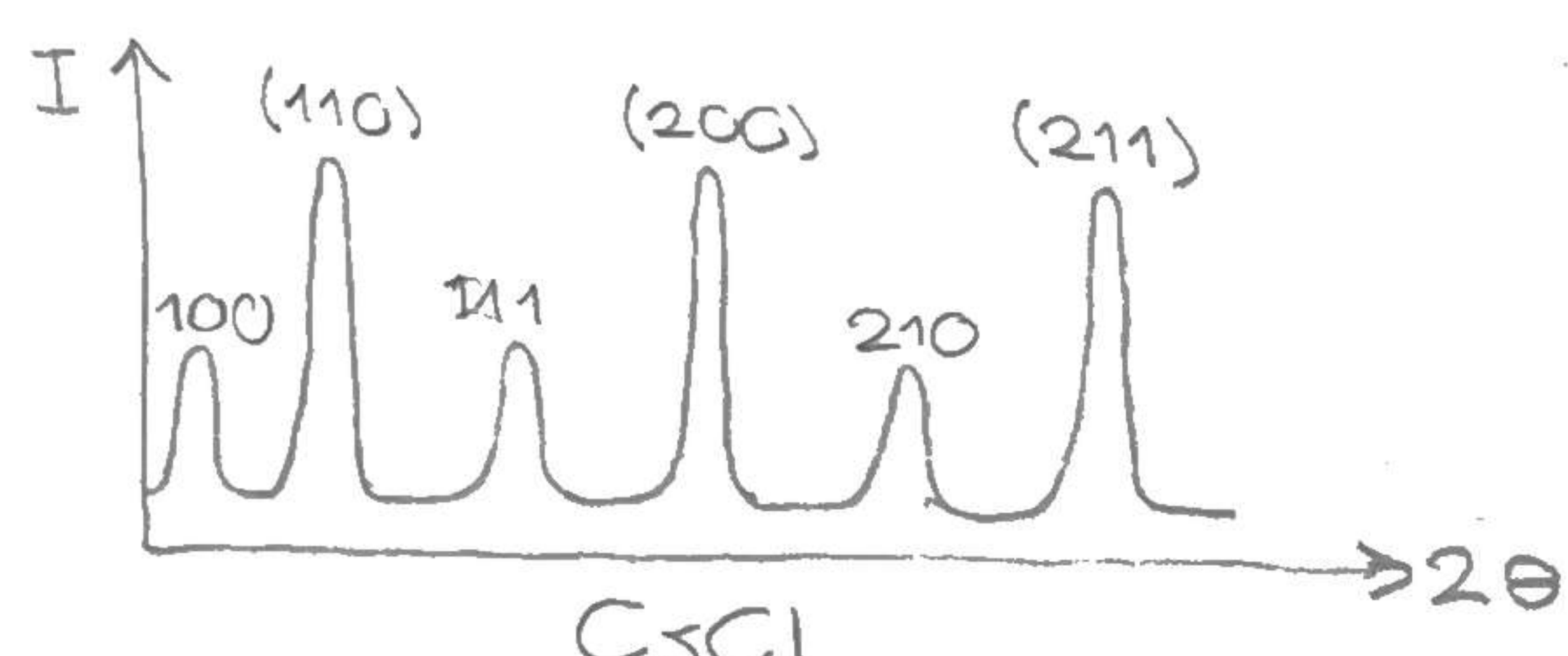
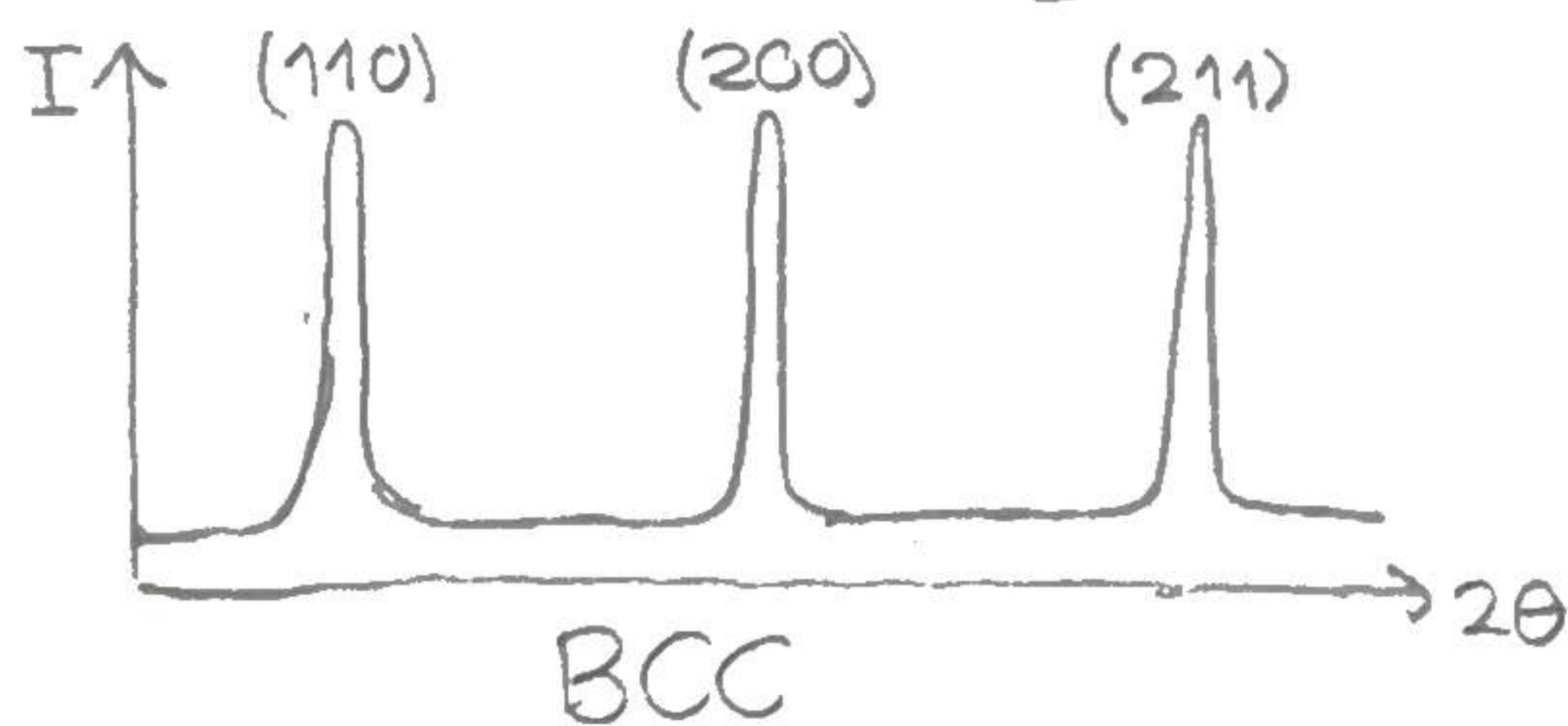


$$S_{\vec{G}}(hkl) = \begin{cases} f_{Cs} + f_{Cl} & \text{om } h+k+l = \text{jämnt} \\ f_{Cs} - f_{Cl} & \text{om } h+k+l = \text{udda} \end{cases}$$

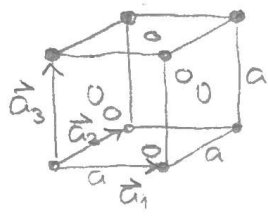
För röntgen och  $e^-$ :  $f_{Cs} \approx C \cdot 55$ ,  $f_{Cl} \approx C \cdot 17$

$$\Rightarrow S_{\vec{G}}(hkl) = \begin{cases} C \cdot 72 & \text{om } h+k+l = \text{jämnt} \\ C \cdot 38 & \text{om } h+k+l = \text{udda} \end{cases}$$

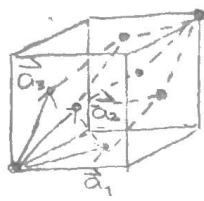
Diffraktionsdiagram för BCC resp. CsCl:



Konventionell:



Primitiv:



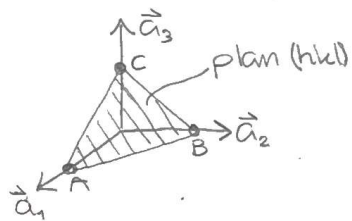
$$\begin{cases} \vec{a}_1 = \frac{a}{2}(1, 1, 0) \\ \vec{a}_2 = \frac{a}{2}(0, 1, 1) \\ \vec{a}_3 = \frac{a}{2}(1, 0, 1) \end{cases}$$

$$V_{\text{primitiv}} = \vec{a}_1 \cdot \vec{a}_2 \times \vec{a}_3 = \frac{a^3}{4} \quad (\text{volym av parallelepiped})$$

Vilket är en fjärdedel av den konventionella cellens volym.

S10 Visa att  $d_{hkl} = \frac{2\pi}{|\vec{G}_{hkl}|}$ .

$$\vec{G}_{hkl} = h\vec{b}_1 + k\vec{b}_2 + l\vec{b}_3 \quad (\text{reciprok gittervektor})$$



$$\begin{aligned} \vec{AB} \cdot \vec{G}_{hkl} &= \left( \frac{\vec{a}_2}{h} - \frac{\vec{a}_1}{k} \right) \cdot (h\vec{b}_1 + k\vec{b}_2 + l\vec{b}_3) = \\ &= \{ \vec{a}_i \cdot \vec{b}_j = 2\pi \delta_{ij} \} = 0 \\ \vec{BC} \cdot \vec{G}_{hkl} &= \dots = 0 \\ \Rightarrow \vec{G}_{hkl} &\perp (hkl) \end{aligned}$$

Projicera vektor som går mellan flera planer på  $\vec{n} = \frac{\vec{G}_{hkl}}{|\vec{G}_{hkl}|}$ .

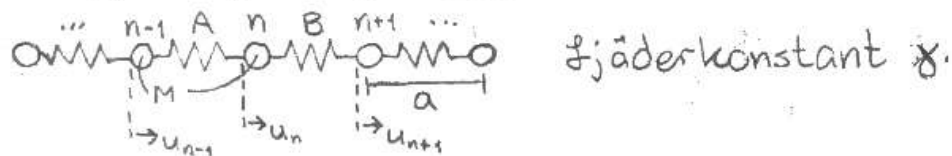
$\frac{\vec{a}_1}{h}, \frac{\vec{a}_2}{k}, \frac{\vec{a}_3}{l}$  går mellan planen.

$$d_{hkl} = \frac{\vec{a}_1}{h} \cdot \vec{n} = \frac{\vec{a}_1 \cdot \vec{G}_{hkl}}{h |\vec{G}_{hkl}|} = \{ \vec{a}_i \cdot \vec{b}_j = 2\pi \delta_{ij} \} = \frac{2\pi h}{h |\vec{G}_{hkl}|} = \frac{2\pi}{|\vec{G}_{hkl}|}.$$

GITTERVIBRATIONER: (4.1)

Vilka frekvenser kan ett gitter svänga med?

Oändligt lång kedja av atomer (1D):



Låt  $u_n$  vara utslaget från jämviktsläget för atom  $n$ .

Kraften på  $n$  från fjäder  $A$  och  $B$ :

$$F_A = \gamma(u_{n-1} - u_n), \quad F_B = \gamma(u_{n+1} - u_n) \quad (\rightarrow)$$

Totala kraften:

$$F_n = F_A + F_B = \gamma(u_{n-1} + u_{n+1} - 2u_n)$$

Newton's andra lag ( $F=ma$ ):

$$M \frac{d^2 u_n}{dt^2} = -\gamma(2u_n - u_{n-1} - u_{n+1}) \quad (1)$$

Ansätt våglösning:

$$u_n = u e^{i(kan - \omega t)}, \quad k = \frac{2\pi}{\lambda}, \quad u \text{ konst.}$$

Insättning i (1):

$$-M\omega^2 e^{ikan} = -\gamma e^{ikan} (2 - e^{-ika} - e^{ika})$$

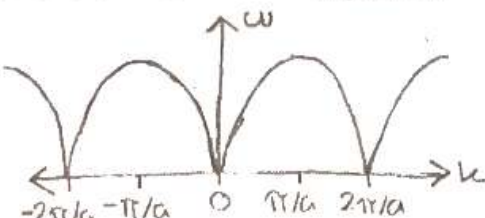
$$\Rightarrow M\omega^2 = \gamma(2 - 2\cos ka)$$

$$\Rightarrow \omega(k) = \sqrt{\frac{2\gamma(1-\cos ka)}{M}}$$

Med  $\sin^2 x = \frac{1}{2}(1 - \cos 2x)$ :

$$[\omega(k) = 2\sqrt{\frac{\gamma}{M}} \left| \sin \frac{ka}{2} \right|]$$

Detta är en dispersionsrelation:



För små  $k$  (långa  $\lambda$ ): ( $\sin \frac{ka}{2} \approx \frac{ka}{2}$ )

$$\omega(k) = a\sqrt{\frac{\chi}{M}}k \Rightarrow$$

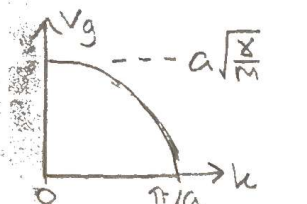
$$\Rightarrow [v = 2f = \frac{\omega}{k} \Rightarrow \omega = v k] \Rightarrow$$

$\Rightarrow [v_g = a\sqrt{\frac{\chi}{M}}]$  ljudhastigheten.

För stora  $k$  (korta  $\lambda$ ):

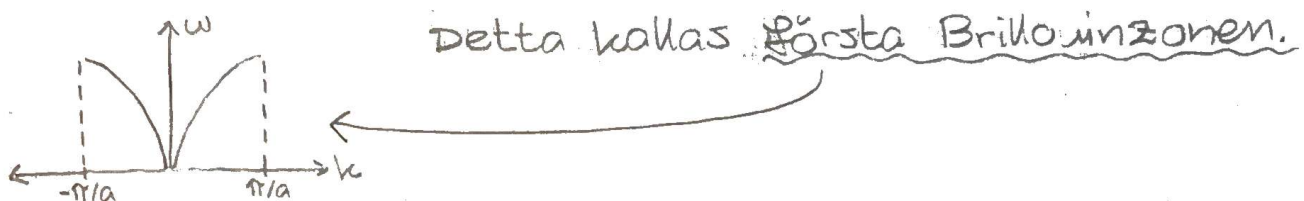
$$\omega_{\max} = 2\sqrt{\frac{\chi}{M}}$$

$$\Rightarrow [v_g = \frac{\partial \omega}{\partial k} = a\sqrt{\frac{\chi}{M}} \cos \frac{ka}{2}]$$
 grupphastigheten.



Nid  $k = \frac{\pi}{a}$  blir  $v_g = 0$   
 $\Rightarrow$  stående våg.

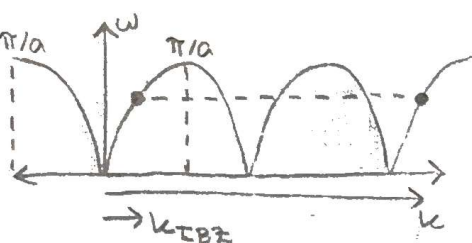
Det relativanta  $k$ -området är  $-\frac{\pi}{a} \leq k \leq \frac{\pi}{a}$ .



Eftersom vi endast är intresserade av utslag i atomernas positioner, kan  $k$ -värden utanför IBZ återförs till ekivalent position i IBZ.

$$[k = k_{IBZ} + m \frac{2\pi}{a}]$$

$$(3D) [\vec{k} = \vec{k}_{IBZ} + \vec{G}_{hkl}]$$



- 1D-analysen fungerar även i 3D (antag att atomplän svänger).
- Vågor kan vara longitudinala och transversella vågor.  
 Longitudinell: (1st) Transversell: (2st)

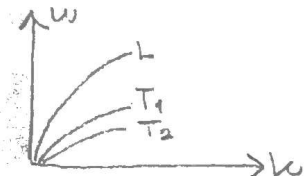
$$\bullet \rightarrow u \bullet \rightarrow k$$

$$\bullet \rightarrow u_x \bullet \rightarrow k$$

$$\downarrow u_y$$

- Tre grenar ("branches") (en longitudinell, två transversella) i dispersionsrelationen.

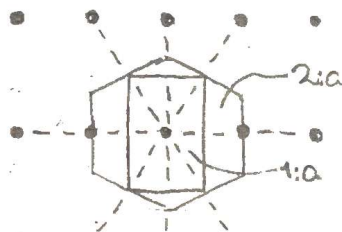
- Dessa kan överlappa - degenererade.



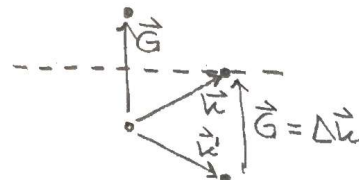
### Brillouinzoner:

- $B_2$  motsvarar Wigner-Seitz cell i det reciproka rummet.
- Brillouinzoner konstrueras genom att rita plan vinkelrätt mot alla  $\vec{G}/2$  (likt för Wigner-Seitz cell).

Ex. rektangulärt gitter i 2D:

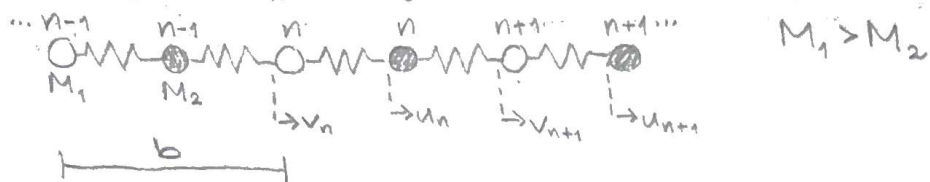


- Alla Brillouinzoner har samma area (i 2D).
- Om  $\vec{k}$  för t.ex. röntgenstråle ligger på  $B_2$ -gräns är Lame-vilkoret uppfyllt och man får diffraction.



Se bl.a. Physics för 3D Brillouinzoner.

Oändligt lång kedja med två atomer i basen:



$u_n$  och  $v_n$  betecknar avvikelser från jämviktsläget. Kraften + Newtons andra lag ger (ukt sist):

$$\begin{cases} M_1 \frac{d^2 u_n}{dt^2} = -\gamma(2u_n - v_{n-1} - v_n) & (1) \\ M_2 \frac{d^2 v_n}{dt^2} = -\gamma(2v_n - u_{n-1} - u_n) & (2) \end{cases}$$

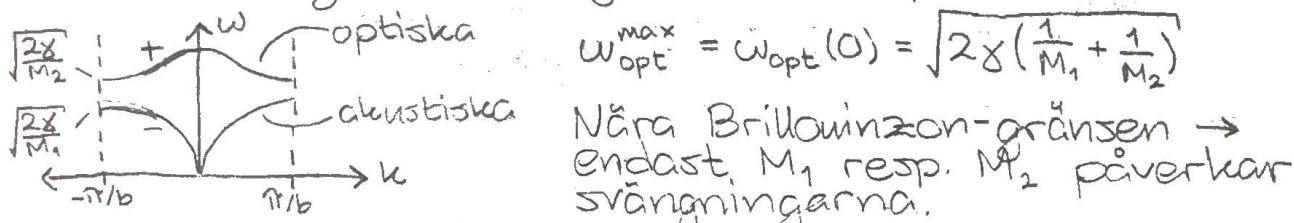
Ansätt våglösning:

$$\begin{cases} u_n = ue^{inkb} e^{-i\omega t}, & u \text{ konst.} \\ v_n = ve^{inkb} e^{-i\omega t}, & v \text{ konst.} \end{cases}$$

Sätt in i (1) och (2):

$$\left[ \omega^2 = \gamma \left( \frac{1}{M_1} + \frac{1}{M_2} \right) \pm \gamma \left( \left( \frac{1}{M_1} + \frac{1}{M_2} \right)^2 - \frac{4}{M_1 M_2} \sin^2 \frac{kb}{2} \right)^{1/2} \right] \quad \text{(kam varga bra på forsklapp när tentan)}$$

TVÅ LÖSNINGAR → TVÅ GRENAR I DISPERSIONSRELATIONEN.



Nära Brillouinzon-gränsen → endast  $M_1$  resp.  $M_2$  påverkar svängningarna.

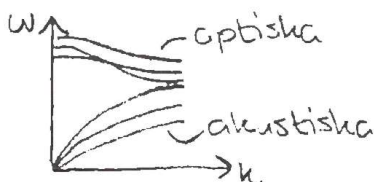
För små  $k$  i akustiska grenen:

$$\omega_{aku} = \sqrt{\frac{\gamma/2}{M_1 + M_2}} b k = v_g k \Rightarrow [v_g = \sqrt{\frac{\gamma/2}{M_1 + M_2}} b] \text{ grupp hastigheter}$$

I den optiska grenen rör sig  $M_1$  och  $M_2$  i motlägs:



Transversella och longitudinella grenar:



[Med p atomer i basen (primitiva enhetscellen) fås  $N=3p$  grenar.  
3 akustiska, 3p-3 optiska]

Grenarna kan vara degenererade.

I 3D: olika dispersionsrelationer i olika riktningar.

Ändlig kedja av atomer - tillåtna  $k$ -värden:

Kedja med längd  $L = a(N+1) \approx \{N \gg 1\} \approx aN$

Inför periodiska randvillkor:

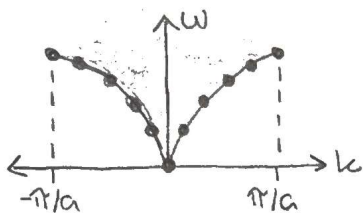
$$u_{N+n}(t) = u_n(t) \Rightarrow u e^{i(kan + kL - wt)} = u e^{i(kan - wt)} \Rightarrow$$
$$\Rightarrow e^{ikL} = 1 \Rightarrow k = \frac{2\pi}{L} m = \frac{2\pi}{aN} m, \quad m \text{ heltal.} \Rightarrow$$
$$\Rightarrow k = 0, \pm \frac{2\pi}{L}, \pm \frac{4\pi}{L}, \dots, \pm k_{\max}.$$

I 1B2:

$$\pm |k_{\max}| = \pm \frac{2\pi}{L} m_{\max} \leq \frac{\pi}{a} \Rightarrow m_{\max} = \frac{L}{2a} = \frac{N}{2}.$$

Eftersom  $L \gg a$ , finns det väldigt många tillåtna  $k$ -värden.  $k$  är kvantiserad.

Ex.  $L = 10a$  (11 atomer).



$$\Delta k = \frac{2\pi}{10a} = \frac{\pi}{5a}$$

$$m_{\max} = 11$$

Antal tillåtna  $k$ -värden är 11.

Kvantiserade energinivåer - zononer:

Energin för gittersvängningar är kvantiserad (jämför fotoner och elektromagnetism), enligt

$$[E_l(w) = (l + \frac{1}{2})\hbar w]$$

där  $l$  är ett kvanttal som beskriver hur många zononer som finns i moden med vinkel frekvens  $w$ .

En excitation

$$[\Delta E = \hbar w]$$

motsvarar en zonon.

Fotoner kan tolkas som partiklar (quasipartiklar)  
p.s.s. som för fotoner.

L är relaterat till amplituden enligt

$$u^2 = 4 \left(1 + \frac{1}{2}\right) \frac{\hbar}{p v w}.$$

$\Delta E$  brukar vara i storleksordning MeV.

### Inelastisk spridning:

Gittersvängningar kan betraktas som partiklar -  
fotoner ( $\vec{q}$ ), eller vågor.

En inkommande  $x, x, e^-$ , n med vägvektorer  $\vec{k}$  sprids mot gittret s.a. vägvektorn ändras till  $\vec{k}'$ .

{ Om  $|\vec{k}'| > |\vec{k}|$  har en foton absorberats.

{ Om  $|\vec{k}'| < |\vec{k}|$  har en foton emitterats.

$\vec{q}$  måste ligga i 1BZ

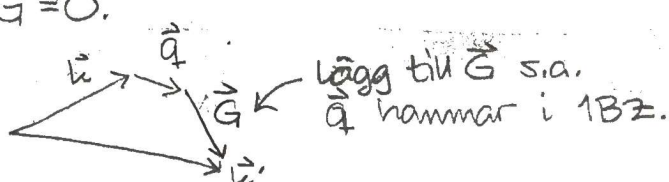
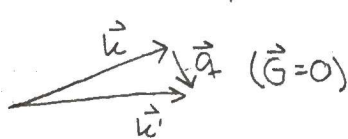
$$\vec{k} + \vec{G} = \vec{k}' + \vec{q}.$$

Totala energin konserveras ( $\vec{G}$  mottar ej energi).

Fotoner:  $w = w' \pm w_q$

Neutroner:  $\frac{\hbar k^2}{2M_n} = \frac{\hbar k'^2}{2M_n} \pm w_q$

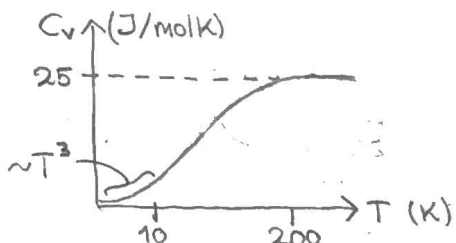
Ofta är  $\vec{q}$  liten,  $\vec{G} = 0$ .



VÄRMEKAPACITIVITET: (4.2)

$$\text{Def. } [C_v = \frac{\partial \langle E \rangle}{\partial T}]_v$$

Experiment och modeller:



Dulong-Petits lag:

$$[C_v(T \rightarrow \infty) = 3R \approx 25 \text{ J/mol K}]$$

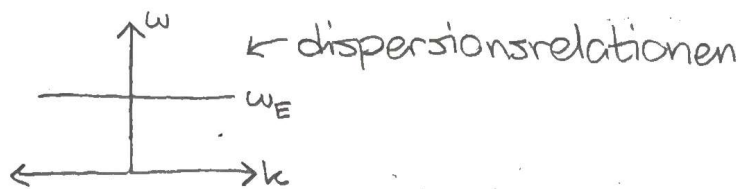
- För höga  $T$ :  $C_v = 3k_B N_A = 3R \approx 25 \text{ J/mol K}$ .

- För låga  $T$ : (metall):  $C_v = \alpha T + \beta T^3$ .  
 ↪ pga gitter  
 ↪ pga elektroner

- Klassisk statistisk fysik (ekvipartitionsprinc.);  $C_v = 3k_B N_A$ .

Einstiens modell:

Betrakta 1 mol ( $N_A$ ) oberoende harmoniska oscillatorer med samma vinkelfrekvens  $\omega_E$ .

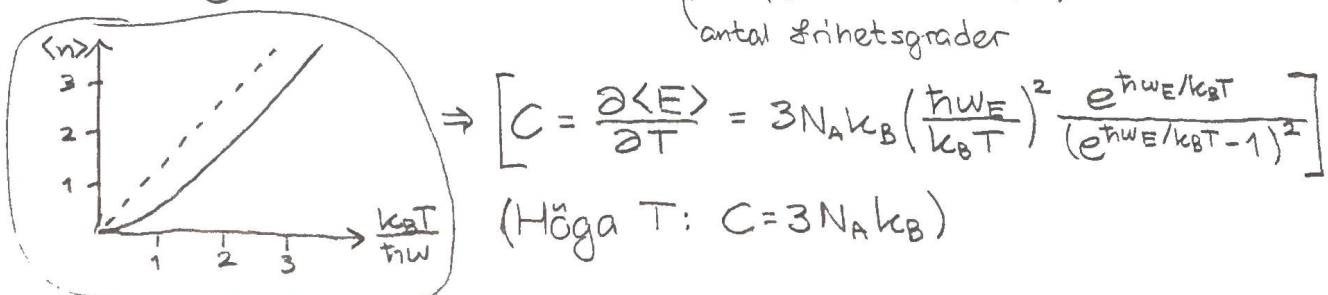


$$\text{Energi: } E_n = (n + \frac{1}{2})\hbar\omega_E.$$

Tidsmedelvärdet av  $E$ ,  $n$  är  $\langle E \rangle$ ,  $\langle n \rangle$ .

$$\langle n \rangle = \frac{1}{e^{\hbar\omega/k_B T} - 1} \Rightarrow \langle E \rangle = 3N_A \left( \frac{1}{e^{\hbar\omega/k_B T} - 1} + \frac{1}{2} \right) \hbar\omega_E \Rightarrow$$

↑ antal frihetsgrader



$\omega_E$  anpassas efter experiment och är olika för olika ämnen

Indör  $\Theta_E = \frac{\hbar w_E}{k_B}$  Einstein temperatur.

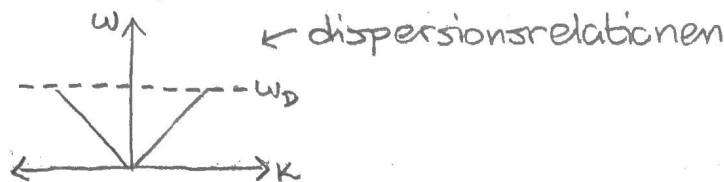
$$\Rightarrow C = 3N_A k_B \left(\frac{\Theta_E}{T}\right)^2 \frac{e^{\Theta_E/T}}{(e^{\Theta_E/T} - 1)^2}.$$

$\Theta_E$  finns i tabeller och är en bra modell vid höga  $T$ .

Vid låga  $T$  går  $C$  för snabbt mot 0, alltså inte bra modell. Den längsta excitationen är för stor ( $\hbar w_E$ )  $\Rightarrow \langle E \rangle \sim \text{konst} \Rightarrow C \sim 0$ .

### Debyes modell:

Antag  $w = v k$  för  $w < w_D$ .



Energitidmedelvärdet:

$$\langle E \rangle = \int_0^{w_D} g(w) \langle n(w) \rangle \hbar w dw$$

↑ tillståndstätheten

+  $\frac{1}{2}$  tar ut sig senare

### Tillståndstäthet:

I  $k$ -rummet: ( $k = 0, \pm \frac{2\pi}{L}, \pm \frac{4\pi}{L}, \dots$ )

$$\cdot 1D: g(k) = \frac{L}{2\pi}.$$

$$\cdot 2D: g(k) = \left(\frac{L}{2\pi}\right)^2.$$

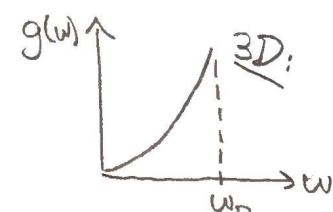
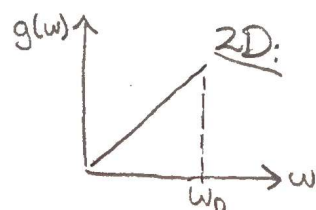
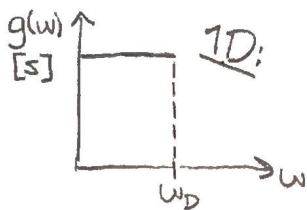
$$\cdot 3D: g(k) = \left(\frac{L}{2\pi}\right)^3.$$

I  $w$ -rummet: ( $w = v k$ ) pga en  $w$  ger  $\pm k$ .

$$\cdot 1D: g(w) = 2g(k) \frac{dk}{dw} = 2 \cdot \frac{L}{2\pi} \cdot \frac{1}{v} = \frac{L}{\pi v}$$

$$\cdot 2D: g(w) = g(k) \frac{d^2k}{dw^2} = \left(\frac{L}{2\pi}\right)^2 \cdot 2\pi k \frac{dk}{dw} = \frac{L^2}{2\pi v^2} w$$

$$\cdot 3D: g(w) = g(k) \frac{d^3k}{dw^3} = \left(\frac{L}{2\pi}\right)^3 \cdot 4\pi k^2 \cdot \frac{dk}{dw} = \frac{L^3}{2\pi^2 v^3} w^2$$



$L^3 = V$ , 3 grenar (2 long., 1 trans.)  $\Rightarrow$

$$\langle E \rangle = 3 \int_0^{w_D} g(w) \langle n(w) \rangle \hbar w dw = \int_0^{w_D} \frac{3Vw^2}{2\pi^2 v^3} \frac{\hbar w}{e^{\hbar w/k_B T} - 1} dw.$$

$w_D$  fås från antalet atomer  $N$ :

$$N = \int_0^{w_D} g(w) dw = \int_0^{w_D} \frac{V w^2}{2\pi^2 v^3} dw = \frac{V w_D^3}{6\pi^2 v^2} \Rightarrow \\ \Rightarrow w_D^3 = \frac{6\pi^2 v^3}{V} N.$$

Indör  $\Theta_D = \frac{\hbar w_D}{k_B} = \frac{\hbar v}{k_B} \left( \frac{6\pi^2 N}{V} \right)^{1/3}$  Debyetemperaturen.

Med  $x_D = \frac{\Theta_D}{T}$ :

$$\langle E \rangle = 9Nk_B T \left( \frac{T}{\Theta_D} \right)^3 \int_0^{x_D} \frac{x^3}{e^{x-1}} dx. \text{ (inga analytiska lösningar.)}$$

• För höga  $T$ :  $C_V = \frac{\partial \langle E \rangle}{\partial T} = 3Nk_B$ .

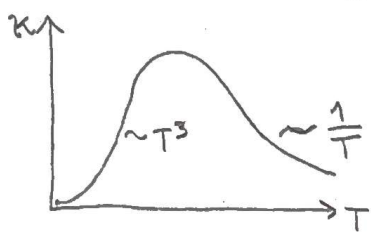
• För låga  $T$ :  $C_V = \frac{\partial \langle E \rangle}{\partial T} = \frac{12\pi^4}{5} N k_B \left( \frac{T}{\Theta_D} \right)^3 \sim T^3$ .

Debye-modellen funkar alltså bättre vid låga  $T$ .

### Värmeledning:

Värmeflöde:  $j = -K \frac{dT}{dx}$  (W/m²).

$K$  värmeledningsförmåga. (W/mK)



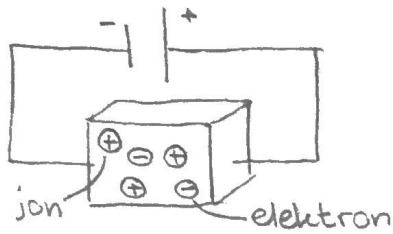
$$K_{\text{tot}} = K_h + K_e$$

$$K_h = \frac{1}{3} C_V \langle v \rangle L$$

$\begin{cases} \text{l frimedelväglängd för sonen} \\ \vee \text{sonernas medelhastighet} \end{cases}$

medellängden en sonen färdas utan att krocka

$K$  bestäms bl.a av provstorlek.

Dru demodellen:

Rörelselekv. (Newton II):

$$\begin{cases} m \frac{d\vec{v}}{dt} = \vec{F} = \vec{F}_L + \vec{F}_D \\ \vec{F}_L = q \vec{E} = -e \vec{E}, \quad \vec{F}_D = -m \frac{\vec{v}}{\tau} \end{cases}$$

ar elektriskt fält      ar dämpning

Behövs både  $F_L$  och  $F_D$ ?

- Utan dämpning:

$$m \frac{d\vec{v}}{dt} = -e \vec{E} \Rightarrow \vec{v} = \vec{v}_0 - \frac{e \vec{E}}{m} t \quad \downarrow$$

- Utan elektriskt fält:

$$m \frac{d\vec{v}}{dt} = -m \frac{\vec{v}}{\tau} \Rightarrow \vec{v} = \vec{v}'_0 e^{-t/\tau} \quad \downarrow$$

Ja, båda termerna behövs!

Antag stationärt flöde:

Drift hastighet,  $\vec{v}_0 = \langle \vec{v} \rangle$  medelvärdet av alla elektroner

$$\frac{d\vec{v}_0}{dt} = -e \vec{E} - m \frac{\vec{v}_0}{\tau} = 0 \Rightarrow \left[ \vec{v}_0 = -\frac{e\tau}{m} \vec{E} \right]$$

Strömtäthet:

$$\vec{J} = n \cdot (-e) \cdot \left( -\frac{e\tau}{m} \vec{E} \right) = \underbrace{\frac{ne^2\tau}{m}}_{\sigma} \vec{E}$$

elektron-täthet    elektron-laddning    genomsnittlig hastighet     $\sigma$  Drudekonduktiviteten

$$\vec{E} = \sigma^{-1} \vec{J} \Rightarrow U = RI \Rightarrow \{U \sim E \cdot \text{längd}, I = J \cdot \text{area}\} \Rightarrow \left[ \sigma^{-1} = R \frac{\text{area}}{\text{längd}} \right]$$

Värmekapacitet:

$$C_V = \frac{dE}{dt}|_V$$

Kinetisk energi är  $\frac{3}{2} k_B T$ .

För Drudeelektroner:

$$\frac{\text{kin.energi}}{\text{elektron}} = \frac{3}{2} k_B T \Rightarrow \frac{C_V}{\text{elektron}} = \frac{3}{2} k_B \Rightarrow \frac{C_V}{\text{mol}} = 3N k_B = 3R$$

Ex: 1 mol Na (1 valenselektron)

$N_A$  joner +  $N_e$  elektroner.

Antag  $T > T_{\text{Debye}} \sim 200\text{K}$ .

$$\frac{C_v}{\text{mol}} = 3k_B \Rightarrow \frac{C_v}{\text{mol}} = 3Nk_B = 3R$$

Totalt:

$$\frac{C_v}{\text{mol}} = 3R + \frac{3}{2}R = 4,5R \quad \text{Drudeelektronernas bidrag}$$

Men enligt experiment fås  $C_v \approx 3R$  (Dulong - Petit).

⇒ Alltså är Drudemodellen ej bra för värmekapaciteten!

Elektronen som kvantgas:

- Valenselektroner + joner,  $M_{\text{ion}} \gg m_{e^-}$
- Born-Oppenheimer approximation
- Antag att elektroner ej växelverkar

En elektron:

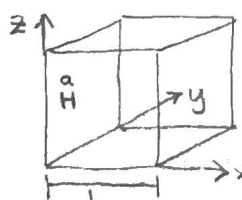
Schrödingerelkv:

$$i\hbar \frac{\partial}{\partial t} \Psi(\vec{r}, t) = -\frac{\hbar^2}{2m} \nabla^2 \Psi(\vec{r}, t) \quad (V(\vec{r})=0 \text{ by fri elektron})$$
$$\Rightarrow \Psi(\vec{r}, t) = A e^{i(\vec{k} \cdot \vec{r} - \omega t)}$$

Energi:

$$\epsilon = \hbar \omega = \frac{\hbar^2 k^2}{2m}, \quad k^2 = k_x^2 + k_y^2 + k_z^2$$

Randvillkor:



Antag periodiska randvillkor:

$$\Psi(x, y, z, t) = \Psi(x+L, y, z, t)$$

$$\Rightarrow A e^{i(k_x x + k_y y + k_z z - \omega t)} = A e^{i(k_x(x+L) + k_y y + k_z z - \omega t)}$$

$$\Rightarrow 1 = e^{ik_x L} \Rightarrow k_x = \frac{2\pi}{L} \cdot n, \quad n \in \mathbb{Z}$$

På samma sätt för  $y, z$  ger värden på  $\vec{k}$ :

$$k_x = \frac{2\pi}{L} \cdot n, \quad k_y = \frac{2\pi}{L} \cdot n, \quad k_z = \frac{2\pi}{L} \cdot n, \quad n \in \mathbb{Z}.$$

I  $x$ -riktning:

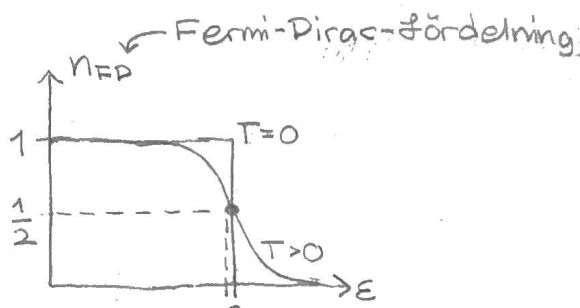
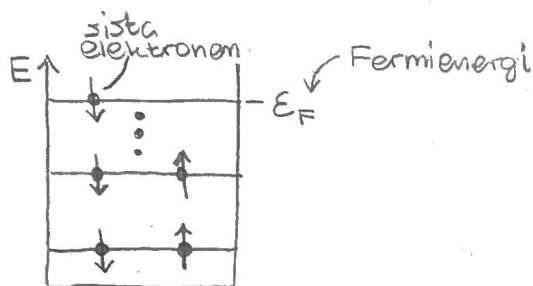
$$\lambda = \frac{2\pi}{k_x} = \frac{L}{n_x} \Rightarrow L = n_x \lambda$$

Kvantbillstånd:

$$\vec{k} = (k_x, k_y, k_z) = \frac{2\pi}{L} (n_x, n_y, n_z)$$

$$\epsilon = \frac{\hbar^2 k^2}{2m} \propto k^2$$

Enelektronmodell:



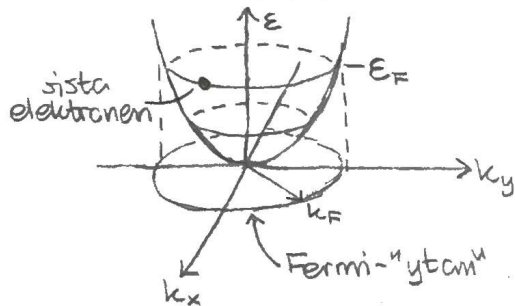
Fermi-Dirac-fördelningen:

$$N_{FD}(E_k) = \frac{1}{e^{(E_k - \mu)/(k_B T)} + 1}$$

$\mu(T)$  kemistka potentialen

2D:

$$\epsilon_{\vec{k}} = \frac{\hbar^2 k^2}{2m}, \quad k^2 = k_x^2 + k_y^2$$

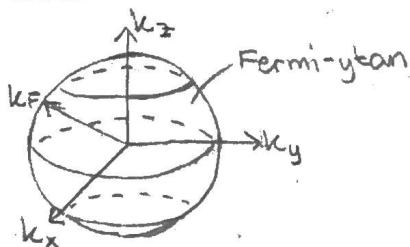


Hur många elektroner?

$$N_{tot} = \int_0^{E_F} D(\epsilon) d\epsilon = \int_0^{k_F} D(k) d^3 k$$

$D(\epsilon), D(k)$  tillståndstätheter.

3D:



$$D(k) = \frac{L^3}{4\pi^3} = \frac{V}{4\pi^3} \quad (3D)$$

$$N' = \int_0^{k_F} D(k) d^3 k = \int_0^{k'} \frac{V}{4\pi^3} d^3 k = \\ = \frac{V}{4\pi^3} \cdot \frac{4\pi}{3} k'^3 = \frac{V}{3\pi^2} k_F^3 \\ \Rightarrow [N_{tot} = \frac{V}{3\pi^2} k_F^3]$$

$$\text{Elektronentäthet } n = \frac{N_{\text{tot}}}{V} = \frac{k_F^3}{3\pi^2}$$

$$\Rightarrow [k_F = (3\pi^2 n)^{1/3}]$$

$$\Rightarrow [E_F = \frac{\hbar^2 k_F^2}{2m} = \frac{\hbar^2}{2m} (3\pi^2 n)^{1/3}]$$

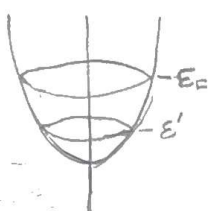
$$\Rightarrow T_F = \frac{E_F}{k_B} \sim 10^5 \text{ K} \quad \underline{\text{Fermitemperaturen}}$$

Ex: Metall.

$$n \approx 10^{30} \text{ m}^{-3}$$

$$k_F = (3\pi^2 n)^{1/3} \approx 10^{10} \text{ m}^{-1}$$

$$\text{Reciproka gitteravståndet } \frac{2\pi}{a} \approx 10^{10} \text{ m}^{-1}$$

Elektronen som kvantgas: (forts.)

$$N(\varepsilon') = \int_0^{\varepsilon'} D(E) dE \Rightarrow$$

$$\begin{aligned} \Rightarrow \boxed{D(E)} &= \frac{dN(E)}{dE} = \left\{ N(E) = \frac{V}{3\pi^2 h^3} (2mE)^{3/2} \right\} = \\ &= \frac{3}{2} \sqrt{E} \frac{V}{3\pi^2 h^3} (2m)^{3/2} = \left\{ N_{\text{tot}} = \frac{V}{3\pi^2 h^3} (2m\varepsilon_F)^{3/2} \right\} = \\ &= \boxed{\frac{3}{2} \frac{N_{\text{tot}}}{\varepsilon_F^{3/2}} \sqrt{E}} \quad (\text{i 3D}) \end{aligned}$$

Värmekapacitet:

Antag  $T \neq 0$ ,  $T \ll T_F$ .

$$\mu(T) \approx \varepsilon_F \left( 1 - \frac{\pi^2}{12} \left( \frac{T}{T_F} \right)^2 + \dots \right) \approx \{T \ll T_F\} \approx \varepsilon_F$$

$$\Rightarrow n_{FD} = \frac{1}{e^{(\varepsilon - \varepsilon_F)/k_B T} + 1}$$

Energiökning från  $T=0$  till  $T>0$ :

$$\begin{aligned} \Delta E &= E(T) - E(0) \approx (\# e^- \text{ inom } k_B T \text{-bredd}) \cdot (\text{termisk E per } e^-) = \\ &= k_B T D(\varepsilon_F) \cdot \frac{3}{2} k_B T = \frac{9}{4} (k_B T)^2 \frac{N_{\text{tot}}}{\varepsilon_F} \end{aligned}$$

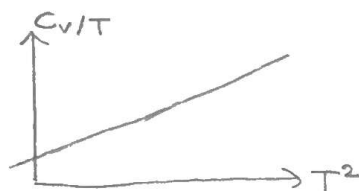
Värmekapaciteten blir då:

$$C_v = \frac{dE}{dT} \approx \frac{\Delta E}{\Delta T} = \frac{9}{4} k_B^2 \frac{N_{\text{tot}}}{\varepsilon_F} T = \frac{9}{4} k_B N_{\text{tot}} \frac{T}{T_F}$$

$$C_v/\text{mol} = \frac{9}{4} R \frac{T}{T_F} \quad (\text{i verkligheten: } C_v/\text{mol} = \frac{\pi^2}{2} R \frac{T}{T_F})$$

Totalt:

$$C_v = AT^3 + \gamma T \Rightarrow \frac{C_v}{T} = AT^2 + \gamma$$

Elektroner i periodisk potential:

Blochs teorem:  $\Psi_{\vec{k}}(\vec{r}) = e^{i\vec{k} \cdot \vec{r}} u_{\vec{k}}(\vec{r})$  periodisk i a

• L-periodicitet  $\Psi$ :

$$\Psi_{\vec{k}}(x+L) = e^{i\vec{k}(x+L)} u_{\vec{k}}(x+L) = \underbrace{e^{i\vec{k}L}}_{=1} \underbrace{e^{i\vec{k}x} u_{\vec{k}}(x)}_{=\Psi_{\vec{k}}(x)} = \Psi_{\vec{k}}(x)$$

• a-periodicitet  $|\Psi|^2$ :

$$|\Psi|^2 = 1 \cdot |u_{\vec{k}}(x+a)|^2 = |u_{\vec{k}}(x)|^2 = |\Psi_{\vec{k}}(x)|^2$$

Från kvantfysik:

$$\Psi(\vec{r}) = \sum_{\vec{k}} C_{\vec{k}} e^{i\vec{k} \cdot \vec{r}} \Rightarrow U(\vec{r}) = \sum_{\vec{q} \in \text{reciproka rummet}} \bar{U}_{\vec{q}} e^{i\vec{q} \cdot \vec{r}}$$

TOSE: (1D)

$$E\Psi(x) = -\frac{\hbar^2}{2m} \frac{d^2}{dx^2} \Psi(x) + U(x)\Psi(x) \Rightarrow \dots \Rightarrow$$

$$\Rightarrow \sum_{\vec{k}} e^{i\vec{k} \cdot \vec{r}} \left( \left( \frac{\hbar^2 k^2}{2m} - E \right) C_{\vec{k}} + \sum_{\vec{q}} \bar{U}_{\vec{q}} C_{\vec{k}-\vec{q}} \right) = 0$$

$$\Rightarrow \left( \frac{\hbar^2 k^2}{2m} - E \right) C_{\vec{k}} + \sum_{\vec{q}} \bar{U}_{\vec{q}} C_{\vec{k}-\vec{q}} = 0$$

För  $k_0$ :

$$(G = \frac{2\pi}{a})$$

$$\dots + \underbrace{U_{-G} C_{k_0+G}}_{q=-G} + \underbrace{\left( \frac{\hbar^2 k_0^2}{2m} - E(k_0) \right) C_{k_0}}_{q=0} + \underbrace{U_G C_{k_0-G}}_{q=+G} + \dots = 0$$

Analogt för  $k = k_0 + G$ ,  $k = k_0 - G$  osv.

$$\begin{bmatrix} \dots & \frac{\hbar^2(k-G)^2}{2m} - E_k & U_{-G} & U_{-2G} & \dots \\ \dots & U_G & \frac{\hbar^2 k^2}{2m} - E_k & U_{-G} & \dots \\ \dots & U_{2G} & U_G & \frac{\hbar^2(k+G)^2}{2m} - E_k & \dots \end{bmatrix} \begin{bmatrix} \vdots \\ C_{k-G} \\ C_k \\ C_{k+G} \\ \vdots \end{bmatrix} = 0$$

$$\Psi_{k_0}(x) = \sum_{\vec{k}} C_{\vec{k}} e^{i\vec{k}x} = \sum_{\vec{q}} C_{k_0-\vec{q}} e^{i(k_0-\vec{q})x} = e^{ik_0x} \underbrace{\sum_{\vec{q}} C_{k_0-\vec{q}} e^{-i\vec{q}x}}_{\text{periodisk i a}} = e^{ik_0x} u_{k_0}(x)$$

$$\Psi_{k_0+q} = \Psi_{k_0} \Rightarrow E_{k_0+q} = E_{k_0}$$

(räcker att lösa TOSE i 1BZ)

Elektron i elektrisk potential: (Forts.)

Studera energi i  $k = \frac{\pi}{a}$ .

Antag  $U_G = U_{-G} = U$  och att andra  $U_q = 0$ .

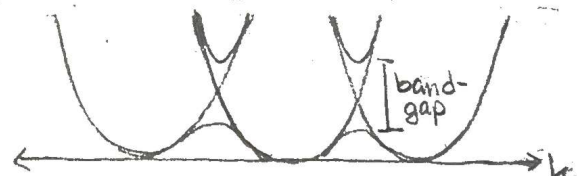
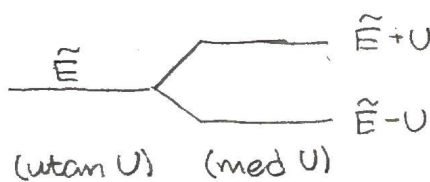
Antag  $C_{k_0}, C_{k_0+G} \neq 0$  och att andra  $C_{k_0+q} = 0$ .

Skriv  $\tilde{E} = \frac{\hbar^2}{2m} \frac{\Omega^2}{a^2}$ .

$$\Rightarrow \begin{cases} \left( \frac{\hbar^2}{2m} (k_0 - G)^2 - E_{k_0} \right) C_{k_0-G} + U C_{k_0} = 0 \\ U C_{k_0+G} + \left( \frac{\hbar^2}{2m} k_0^2 - E_{k_0} \right) C_{k_0} = 0 \end{cases}$$

$$\Rightarrow \begin{cases} (\tilde{E} - E_{k_0}) C_{-\pi/a} + U C_{\pi/a} = 0 \\ U C_{-\pi/a} + (\tilde{E} - E_{k_0}) C_{\pi/a} = 0 \end{cases}$$

$$\Rightarrow \begin{bmatrix} \tilde{E} - E_{k_0} & U \\ U & \tilde{E} - E_{k_0} \end{bmatrix} \begin{bmatrix} C_{-\pi/a} \\ C_{\pi/a} \end{bmatrix} = 0 \Rightarrow E_{k_0} = \tilde{E} \pm U$$

Fermiytor:

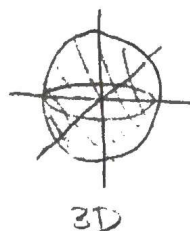
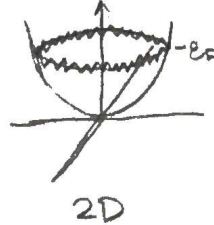
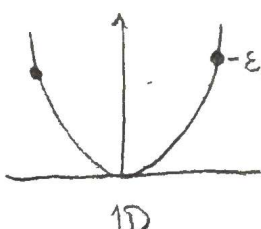
Yta med konstant energi i  $k$ -rummet som delar rummet i fylda och tomta tillstånd vid  $T=0$ .

1D: punkter

2D: linjer

3D: ytor

Fermiytor är viktiga för metaller. Elektriska egenskaper bestäms av ändringar i antal tillstånd nära Fermienergin.



## Dynamik för elektroner:

Fri elektron:

- $\Psi_{\text{fr}} = Ae^{i\vec{k} \cdot \vec{r}}$

- Hela universum

- Vågpaketet för lokalisering väg  
→ superpos. av flera vågor

- Grupphastighet:  $v_g = \frac{\partial \omega}{\partial k}$

- Rörelsemoment:  $\hat{p} = \hbar \vec{k}$

För Blochelektron:

$$\hat{p} = -i\hbar \nabla_{\vec{r}}$$

$$-i\hbar \nabla_{\vec{r}} \Psi_{\text{Bloch}} = -i\hbar \nabla_{\vec{r}} (Ae^{i\vec{k} \cdot \vec{r}} u_{\vec{k}}(\vec{r})) = \hbar v_g \Psi_{\text{Bloch}} - i\hbar A e^{i\vec{k} \cdot \vec{r}} \nabla_{\vec{r}} u_{\vec{k}}(\vec{r})$$

$\Psi_{\text{Bloch}}$  ej egenfunktion för  $\hat{p}$ .

$\hbar \vec{k}$  kallas gittermoment

Rörelseekvation:

$$\frac{dE}{dt} = F v_g, \quad \vec{F} \text{ yttre kraft}$$

$$1D: \frac{dE}{dt} = \frac{dE}{dk} \frac{dk}{dt} = \{E = \hbar \omega\} = \hbar \frac{dw}{dk} \frac{dk}{dt} = \hbar v_g \frac{dk}{dt}$$

$$\Rightarrow \hbar v_g \frac{dk}{dt} = F v_g \Rightarrow [F = \hbar \frac{dk}{dt}]$$

Blochelektron: (i periodiskt material)

- $\Psi_{\text{Bloch}} = A e^{i\vec{k} \cdot \vec{r}} u_{\vec{k}}(\vec{r})$

- Hela materialet

- Vågpaketshastighet

$$v_g = \frac{\partial \omega}{\partial k} = \frac{1}{\hbar} \frac{\partial E_k}{\partial k} \quad (1D)$$

$$v_g = \nabla_{\vec{k}} \omega = \frac{1}{\hbar} \nabla_{\vec{k}} E_k \quad (3D)$$

- $\hbar \vec{k}$  ej rörelsemoment

Bloch-elektroner:

$$\hbar \frac{d\vec{k}}{dt} = \vec{F}$$

1D: acceleration:  $\frac{dv_g}{dt} = \frac{\partial v_g}{\partial k} \frac{dk}{dt} = f_{v_g} = \frac{\partial \omega}{\partial k} = \{E = \hbar\omega\} = \frac{1}{\hbar} \frac{dE}{dk} \} =$

$$= \frac{d}{dk} \left( \frac{1}{\hbar} \frac{dE}{dk} \right) \frac{E}{\hbar} = \underbrace{\frac{1}{\hbar^2} \frac{d^2 E}{dk^2}}_{\text{motsv. m}^{-1}} F$$

Fri elektron:  $E(k) = \frac{\hbar^2 k^2}{2m_e} \Rightarrow \frac{1}{m_{\text{eff}}} = \frac{1}{\hbar^2} \cdot \frac{\hbar^2}{m_e} = \frac{1}{m_e}$

Mess effektivmassan

3D:  $a_i = \frac{\partial}{\partial t} v_{g,i} = \nabla_k v_{g,i} \cdot \frac{d\vec{k}}{dt} = \sum_{j=x,y,z} \frac{\partial v_{g,i}}{\partial k_j} \frac{dk_j}{dt} = \{v_{g,i} = \frac{1}{\hbar} \frac{dE}{dk_i}\} =$

$$= \frac{1}{\hbar} \sum_j \frac{\partial^2 E}{\partial k_j \partial k_i} \frac{dk_j}{dt} = \left\{ \frac{dk_j}{dt} = \frac{F_j}{\hbar} \right\} = \frac{1}{\hbar^2} \sum_j \left( \frac{\partial^2 E}{\partial k_j \partial k_i} \right)_{ji} F_j =$$

$$= \sum_j \left( \frac{1}{m_{\text{eff}}} \right)_{ji} F_j$$

$\uparrow$  matrix

$$\Rightarrow \vec{a} = \left( \frac{1}{m_{\text{eff}}} \right) \vec{F}$$

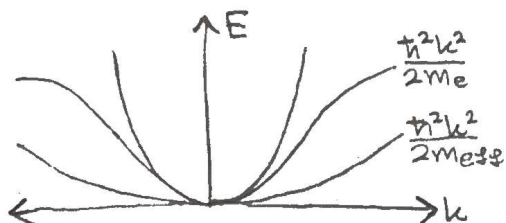
Fri elektron:  $E(k) = \frac{\hbar^2 k^2}{2m_e} = \frac{\hbar^2 (k_x^2 + k_y^2 + k_z^2)}{2m_e}$

Matriselement i  $\left( \frac{1}{m_{\text{eff}}} \right)$ :

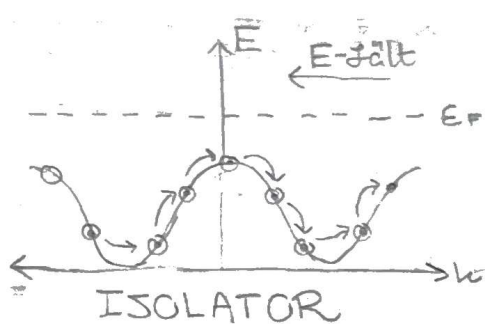
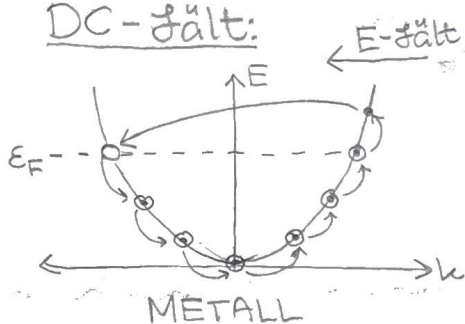
$\times x: \frac{1}{\hbar^2} \frac{\partial^2 E}{\partial k_x^2} = \frac{1}{m_e} \quad (\text{analogt f\"or } yy, zz)$

$\times y: \frac{1}{\hbar^2} \frac{\partial^2 E}{\partial k_x \partial k_y} = 0 \quad (\text{analogt f\"or } xz, yz)$

$$\Rightarrow \left( \frac{1}{m_{\text{eff}}} \right) = \begin{pmatrix} \frac{1}{m_e} & 0 & 0 \\ 0 & \frac{1}{m_e} & 0 \\ 0 & 0 & \frac{1}{m_e} \end{pmatrix}$$



### DC-fält:



### AC-fält:

Elektromagnetiska fält beskrivs av vågelnationen

$$\nabla^2 \vec{E} = \frac{1}{\epsilon_0} \frac{\partial^2 \vec{E}}{\partial t^2}$$

Dielektricitetskonstanten

$$\epsilon = \epsilon_r \epsilon_0, \quad \epsilon_0 = 8,9 \cdot 10^{-12} \text{ As/Vm}$$

Brytningsindex  $n = \sqrt{\epsilon_r}$ .

Elektriskt fält  $\vec{E}$  ger polariation  $\vec{P}$ .

Förskjutningsfält:  $\vec{D} = \epsilon \vec{E} = \epsilon_0 \vec{E} + \vec{P}$ ,  $\vec{P} = \epsilon_0 \chi_e \vec{E}$ ,  $1 + \chi_e = \epsilon_r$

$$\nabla \vec{E} = \frac{\rho_{ext} + \rho_{int}}{\epsilon_0} \Rightarrow \nabla \vec{D} = \rho_{ext}$$

$$\Rightarrow \left[ \nabla^2 \vec{E}(\vec{r}, t) = \mu \epsilon \frac{\partial^2 \vec{E}}{\partial t^2}(\vec{r}, t) + \mu \sigma \frac{\partial}{\partial t} \vec{E}(\vec{r}, t) \right] \quad \begin{matrix} \downarrow \text{susceptibilitet} \\ \downarrow \text{pga extern ström} \end{matrix}$$

Modell för EM-strålning  $\vec{E}$  i material:

Fjäder + dämpning i punkt  $\vec{r}$ :

$$m \frac{d^2 \vec{E}(\vec{r}, t)}{dt^2} = -C_f \vec{E}(\vec{r}, t) - m \eta \frac{d}{dt} \vec{E}(\vec{r}, t) - e \vec{E}(\vec{r}, t)$$

$\uparrow$  fjäderkonst.       $\uparrow$  dämpningskonst.

$$\vec{E}(\vec{r}) = \vec{E}_0(\vec{r}) e^{-i\omega t}$$

Lösningar ( $t \gg 0$ ):

$$1D: \quad \vec{E}(\vec{r}, t) = \vec{E}_0(\vec{r}) e^{-i\omega t}, \quad \vec{E}_0(\vec{r}) = \frac{e \vec{E}_0(\vec{r})}{m} \frac{1}{\omega^2 - \omega_0^2 + i\eta\omega}$$

Polarisation:

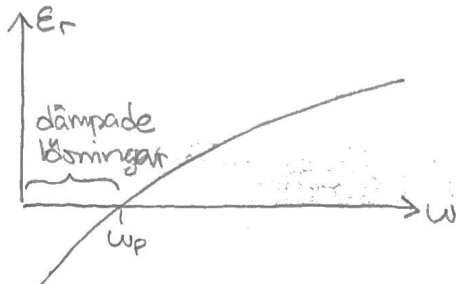
$$P = P_0(\vec{r}) e^{-i\omega t} = np = -e \vec{E}(\vec{r}, t) n, \quad P_0 = \epsilon_0 \chi_e E_0$$

$$[\epsilon_r = 1 + \chi_e = 1 + \frac{P}{\epsilon_0 E} = 1 - \frac{e^2 n}{\epsilon_0 m} \frac{1}{\omega^2 - \omega_0^2 + i\eta\omega}]$$

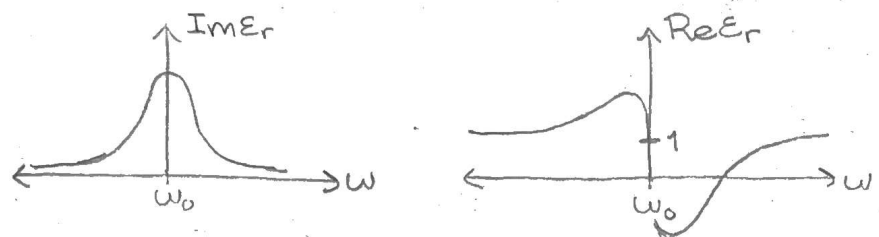
Specialfall:

Bindningselektroner  $n \approx 0$ ,  $\omega_0 \approx 0$ :

$$\epsilon_r = 1 - \frac{e^2 n}{\epsilon_0 m} \frac{1}{\omega^2} = 1 - \frac{\omega_p^2}{\omega^2}, \quad \omega_p = \sqrt{\frac{e^2 n}{\epsilon_0 m}} \quad \text{plasmonfrekvensen}$$



Generellt:



Tight-binding-modell:

Isolerad atom:

$$\hat{H}_{\text{atom}} = -\frac{\hbar^2}{2m_e} \nabla^2 + V_{\text{atom}}(\vec{r})$$

Energiväntevärde:

$$E_n = \int \phi_n^*(\vec{r}) \hat{H}_{\text{atom}} \phi_n(\vec{r}) d\vec{r}, \quad n \text{ orbitaler } 1s, 2s, 2p, \dots$$

Atomer i gitter:  $V(\vec{r})$

$$\hat{H}_{\text{solid}} = \hat{H}_{\text{atom}} + \sum_{R \text{gitter} \neq 0} V_{\text{atom}}(\vec{r} - \vec{R})$$

Väntevärde:

$$\int \phi_n^*(\vec{r}) \hat{H}_{\text{solid}} \phi_n(\vec{r}) d\vec{r} = E_n + \underbrace{\int \phi_n^*(\vec{r}) V(\vec{r}) \phi_n(\vec{r}) d\vec{r}}_{-\beta_n \text{ (liten)}}$$

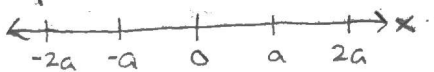
Vägfunktion:

$$\Psi_{\vec{n}}(\vec{r}) = \sum_R C_{\vec{n}, \vec{R}} \phi_n(\vec{r}, R) \quad (\text{normerad})$$

Vägsvinktionerna uppfyller Blochs teorem.

Väntevärde:

$$\begin{aligned} E(\vec{k}) &= \int \Psi_{\vec{n}}^*(\vec{r}) \hat{H}_{\text{solid}} \Psi_{\vec{n}}(\vec{r}) d\vec{r} = \dots = \\ &= E_n - B_n + \sum_{R \neq 0} e^{i\vec{k} \cdot \vec{R}} \underbrace{\int \phi_n^*(\vec{r}) v(\vec{r}) \phi_n(\vec{r} - \vec{R}) d\vec{r}}_{-\chi_n(\vec{R})} \end{aligned}$$

Tight-binding-modell: (forts.)1D: s-orbitalen symmetrisk.

Antag att endast närmsta atomernas potential påverkar:

$$\chi_s = \chi(-a) = \chi(a) \quad (\text{övriga } \chi=0)$$

$$\Rightarrow [E(\vec{k}) = E_s - \beta_s - \sum_{R=a,-a} e^{ikR} \chi(R) = E_s - \beta_s - \chi_s (e^{-ika} + e^{ika}) = \\ = E_s - \beta_s - 2\chi_s \cos ka]$$

2D: Antag att endast närmsta grannar påverkar:

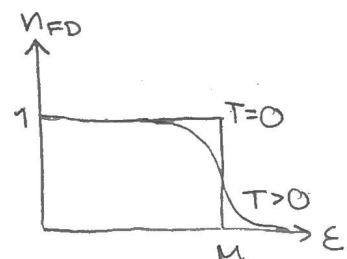
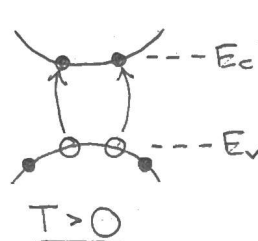
$$\chi_s = \chi(-a\hat{x}) = \chi(a\hat{y}) = \chi(a\hat{x}) = \chi(-a\hat{y})$$

$$[E(\vec{k}) = E_n - \beta_n - \chi_n (e^{-iak_x} + e^{iaky} + e^{iak_x} + e^{-iaky}) = \\ = E_n - \beta_n - 2\chi_n (\cos k_x a + \cos k_y a)]$$

För små  $k$ : ( $\cos ka \approx 1 - \frac{1}{2}(ka)^2$ )

$$[E(\vec{k}) = E_n - \beta_n - 4\chi_n + \chi_n \underbrace{(k_x^2 a^2 + k_y^2 a^2)}_{= k^2 a^2}]$$

$$\begin{cases} \vec{r}_1 = -a\hat{x} \\ \vec{r}_2 = a\hat{y} \\ \vec{r}_3 = a\hat{x} \\ \vec{r}_4 = -a\hat{y} \end{cases}$$

Halvledare:

Ledningsband:  $[E_{\text{cond},\vec{k}} = E_c + ak^2], \quad a > 0 \quad [\alpha] = \text{eV}\text{\AA}^2$

Valensband:  $[E_{\text{val},\vec{k}} = E_v - bk^2], \quad b > 0.$

$$E_g = E_c - E_v$$

Elektronens effektivmassa:

$$\text{Ledningsbandet: } \frac{1}{m_e^*} = \frac{1}{\hbar^2} \frac{\partial^2}{\partial k^2} E_{\text{cond}}(k) = \frac{1}{\hbar^2} 2a \quad (> 0)$$

$$\text{Valensbandet: } \frac{1}{m_e^*} = \frac{1}{\hbar^2} \frac{\partial^2}{\partial k^2} E_{\text{val}}(k) = \frac{1}{\hbar^2} (-2b) \quad (< 0) \quad \zeta$$

## Hål:

Valensbandet:

Innan excitation:



$$\text{Total energi: } E_0$$

$$\text{Total laddning: } 0$$

Efter excitation:



$$E_0 + b\hbar^2 \quad (> E_0)$$

$$+ e$$

Hål - orsaknad av elektron.

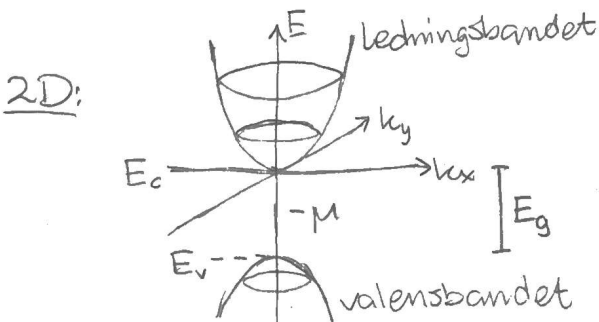
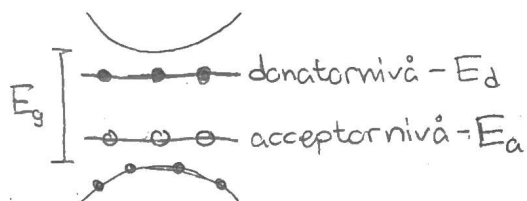
Effektivmassa av hål:

$$\frac{1}{m_n^*} = \frac{1}{\hbar^2} \frac{\partial^2}{\partial k^2} (E_0 + b\hbar^2) = \frac{2b}{\hbar^2} \quad (> 0)$$

Intrinsisk halvledare (dopad):

Odopad:  $n = p \leftarrow$  elektronhaltighet  $\leftarrow$  hältighet (intrinsisk)

Dopad:  $n \neq p$  (extrensisk)



Antag  $E_c - \mu \gg k_B T$ ,  $\mu - E_v \gg k_B T$ .

$$n_{FD}(\varepsilon) = \frac{1}{e^{(\varepsilon-\mu)/k_B T + 1}} \approx e^{-(\varepsilon-\mu)/k_B T}$$

$$D(\varepsilon) = \frac{\sqrt{V}}{2\pi^2} \left( \frac{2m_e^*}{\hbar^2} \right)^{3/2} \sqrt{\varepsilon - E_c}$$

$$\Rightarrow n(T, \mu) = \frac{1}{V} \int_{E_c}^{\infty} D(\varepsilon) n_{FD}(\varepsilon) d\varepsilon = \left\{ e^{-(\varepsilon-\mu)/k_B T} = e^{-(E_c-\mu)/k_B T} e^{-(\varepsilon-E_c)/k_B T} \right\} =$$

$$= \frac{1}{2\pi^2} \left( \frac{2m_e^*}{\hbar^2} \right)^{3/2} e^{-(E_c-\mu)/k_B T} \int_{E_c}^{\infty} \sqrt{\varepsilon - E_c} e^{-(\varepsilon-E_c)/k_B T} d\varepsilon =$$

$$= \underbrace{\frac{1}{\sqrt{2}} \left( \frac{m_e^* k_B T}{\pi \hbar^2} \right)}_{N_e} e^{-(E_c-\mu)/k_B T}$$

$$\left. \begin{array}{l} \text{Halvledare: } n \approx 10^{16} - 10^{21} \text{ m}^{-3} \\ \text{Metall: } n \approx 10^{29} \text{ m}^{-3} \end{array} \right\}$$

För hål:

$$[p(T, \mu) = \overbrace{\frac{1}{\sqrt{2}} \left( \frac{m_h^* k_B T}{\pi \hbar^2} \right)^{3/2}}^{N_h} e^{-(\mu - E_v)/k_B T}]$$

Massverkhangs lag:

$$[n(T, \mu)p(T, \mu) = N_e N_h e^{-(E_c - \mu)/k_B T} e^{-(\mu - E_v)/k_B T} = N_e N_h e^{-(E_c - E_v)/k_B T} = N_e N_h e^{-E_g/k_B T}]$$

Specialfall adopad:

$$n = p = n_i$$

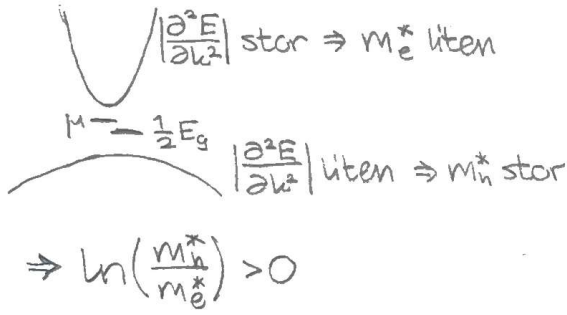
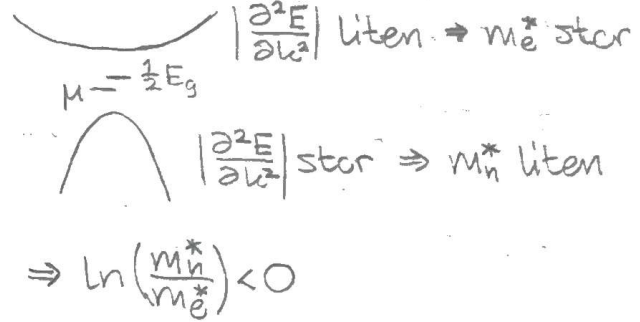
$$[n_i = \sqrt{np} = \sqrt{N_e N_h} e^{-E_g/2k_B T}]$$

Halvledare:Odopad/intrinsisk:

$$n=p \Rightarrow N_e e^{-(E_c-\mu)/k_B T} = N_h e^{-(M-E_v)/k_B T} \Rightarrow \frac{N_h}{N_c} = e^{-(E_c+E_v+2\mu)/k_B T} \Rightarrow$$

$$\Rightarrow \{E_g = E_c - E_v\} \Rightarrow e^{(2M-E_g-2E_v)/k_B T} = \left(\frac{m_n^*}{m_e^*}\right)^{3/2} \Rightarrow$$

$$\Rightarrow \left[ \mu(T) = E_v + \frac{1}{2}E_g + \frac{3}{4}k_B T \ln\left(\frac{m_n^*}{m_e^*}\right) \right]$$

Fall 1:Fall 2:Ex-värden:

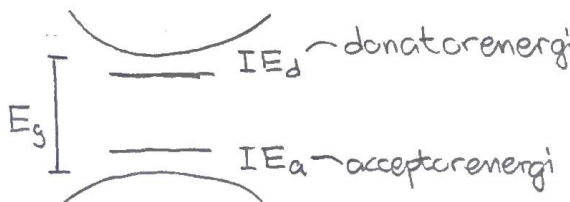
- Si (odopad):  $E_g = 1,11 \text{ eV}$ ,  $n(150K) = 4 \cdot 10^{16} \text{ m}^{-3}$ ,  $n(300K) = 1,5 \cdot 10^{16} \text{ m}^{-3}$
- Metaller:  $n \sim 10^{28} \text{ m}^{-3}$

Väteatom:

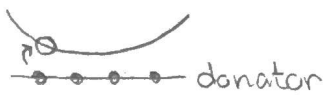
$$E_{vätet} = -\frac{me}{32\pi^2 n^2} \frac{e^4}{\epsilon_0^2} = -1 Ry = -13,6 \text{ eV}$$

$$E_{dopad} = -\frac{e^4}{32\pi^2 n^2} \frac{m_e^*}{\epsilon^2} \quad (\epsilon_r \sim 5-15)$$

(Ex.  $\epsilon_r = 10$ ,  $m_e^* = 0,1 me$   $\Rightarrow E_{dopad} = 10^{-3} E_{vätet}$ )



Donator:



•  $n = n_d^+ + p$

↓ antal ioniserade donatoratomer

Acceptor:



•  $p = n_a^- + n$

↓ antal ioniserade acceptoratomer



Totalt:  $[n + n_a^- = p + n_d^+]$

Hög T:

$$n \gg n_d^+ = n_d$$

(intrinsisk)

Mellan T:

$$n = n_d^+ + p \approx n_d^+$$

(extrinsisk)

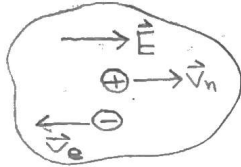
Låg T:

$$n = n_d^+ \ll n_d$$

(freeze-out)

$$\Delta n = n - p, \quad n = \frac{1}{2} (\Delta n + \sqrt{(\Delta n)^2 - 4n_i^2})$$

$$\frac{\Delta n}{n_i} = 2 \sinh \left( \frac{\mu - \mu_i}{k_B T} \right)$$

Konduktivitet:

$$\text{NI} \quad m_e^* \frac{d\vec{v}_e}{dt} = -m_e^* \frac{\vec{v}_e}{\tau_e} - e\vec{E} \Rightarrow \left\{ \left\langle \frac{d\vec{v}_e}{dt} \right\rangle = 0 \right\} \Rightarrow$$

$$\Rightarrow 0 = -m_e^* \frac{\langle \vec{v}_e \rangle}{\tau_e} - e\vec{E} \Rightarrow \langle \vec{v}_e \rangle = -\frac{e\tau_e}{m_e^*} \vec{E}.$$

Strömtätheten:  $\vec{j}_e = -en\langle \vec{v}_e \rangle = \underbrace{\frac{e^2 n \tau_e}{m_e^*}}_{\sigma_e} \vec{E} = \sigma_e \vec{E}.$

Analogt för hål: elektronkonduktivitet

$$\langle \vec{v}_h \rangle = \frac{e\tau_h}{m_h^*} \vec{E} \Rightarrow \vec{j}_h = ep\langle \vec{v}_h \rangle = \underbrace{\frac{e^2 p \tau_h}{m_h^*}}_{\sigma_h} \vec{E} = \sigma_h \vec{E}.$$

Total konduktivitet: hålkonduktivitet

$$[\sigma = \sigma_e + \sigma_h = \left\{ \text{mobilitet } \mu_{e,h} = \frac{e\tau_{e,h}}{m_{e,h}^*} \right\} = ne\mu_e + pe\mu_h]$$

$\sigma_e \propto n(T) \sim \begin{cases} e^{-E_g/2k_B T} & (\text{odopat}) \\ e^{-E_d/k_B T} & (\text{dopat}) \end{cases}$

$\sigma_h \propto p(T) \sim -\text{II-}$

$$\Rightarrow \ln \sigma_e = A - \frac{E_g}{2k_B T} \quad \text{konst.}$$

Resistivitet:  $[R = \frac{1}{\sigma}]$

Halleffekten:

Rörelse i magnetfält:

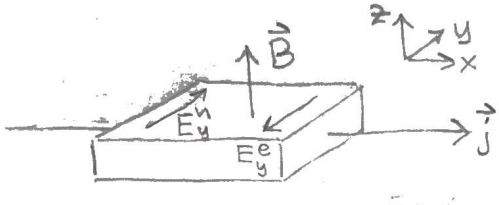
$$\left\{ F_L = q(\vec{E} + \vec{v} \times \vec{B}) \right.$$

$$\left\{ \frac{d}{dt} \langle \vec{v}_q \rangle = 0 \quad (\text{ingen acc.}) \right.$$

$$\vec{B} = \begin{pmatrix} 0 \\ 0 \\ B_z \end{pmatrix} \quad \vec{j} = \begin{pmatrix} j_x \\ 0 \\ 0 \end{pmatrix}$$

$$\hat{y}: 0 = qE_y = qv_x B_z - m_q^* \frac{v_y}{\tau_q} \quad \text{NI utan acc.} \Rightarrow v_y = \frac{q\tau_q}{m_q^*} (E_y - v_x B_z)$$

$$= \frac{q}{\rho} M_q (E_y - v_x B_z).$$



$$j_y = 0 = q n_q v_y q \Rightarrow$$

$$\Rightarrow v_y q = \frac{q}{e} n_q (E_y - v_x B_z) = 0 \Rightarrow$$

$$\Rightarrow [E_y = v_x B_z = \frac{j_x}{q n_q} B_z]$$

Hallkoefficienten:

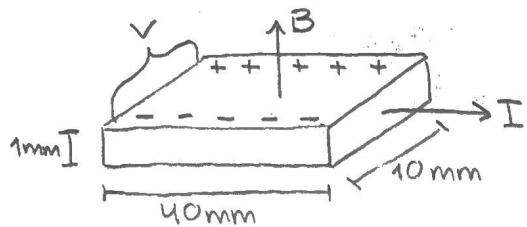
$$\left[ R_H = \frac{E_y}{j_x B_z} = \frac{1}{q n_q} = \begin{cases} \frac{1}{en} & (\text{elektroner}) \\ \frac{1}{ep} & (\text{hål}) \end{cases} \right]$$

$$R_H = \frac{1}{e} \frac{PM_n^2 + n\mu_e^2}{(PM_n + n\mu_e)}$$

Tentauppgifter:

- 5) Dopad halvledare läggs i magnetfält  $B=0,3\text{T}$  och ström  $I=10\text{mA}$ . Halvledaren domineras av antingen elektroner eller hål. Magnetfält och ström ger upphov till spänning  $V=5\text{mV}$ .

- Bestäm  $R_H$  och om laddningarna är elektroner eller hål.
- Beräkna laddningsbärarens tätthet (typiskt värde?).
- Spänning  $U=100\text{mV}$  uppstår i strömmens riktning. Bestäm  $p$ .
- Bestäm  $\mu$  av laddningsbärarna.



$$a) R_H = \frac{E_y}{j_x B_z} = \left\{ E_y = -\frac{V}{W}, j_x = \frac{I}{nW} \right\} = -\frac{Vh}{IB} = \dots = -1,7 \cdot 10^{-3} \frac{\text{m}^3}{\text{C}}$$

$R_H < 0 \Rightarrow$  elektroner domineras.

$$b) R_H = -\frac{1}{en} \Rightarrow n = -\frac{1}{R_H e} = \dots = \underline{\underline{3,8 \cdot 10^{21} \text{ m}^{-3}}},$$

Hög dopning  $\sim 10^{24} \text{ m}^{-3}$ , intrinsisk  $\sim 10^{16} \text{ m}^{-3}$  (halvledare)  
 $\Rightarrow$  Rimligt värde!

$$c) \rho = \frac{1}{\sigma_e} = \left\{ j_x = \sigma_e E_x = \sigma_e \frac{V}{L}, j_x = \frac{I}{hw} \right\} = \frac{U_{hw}}{LI} = \dots = \underline{\underline{2,5 \cdot 10^3 \Omega \text{m}}}.$$

$$d) \mu = -\frac{R_H}{\rho} = \dots = \underline{\underline{0,68 \text{ m}^2/\text{Vs}}}.$$